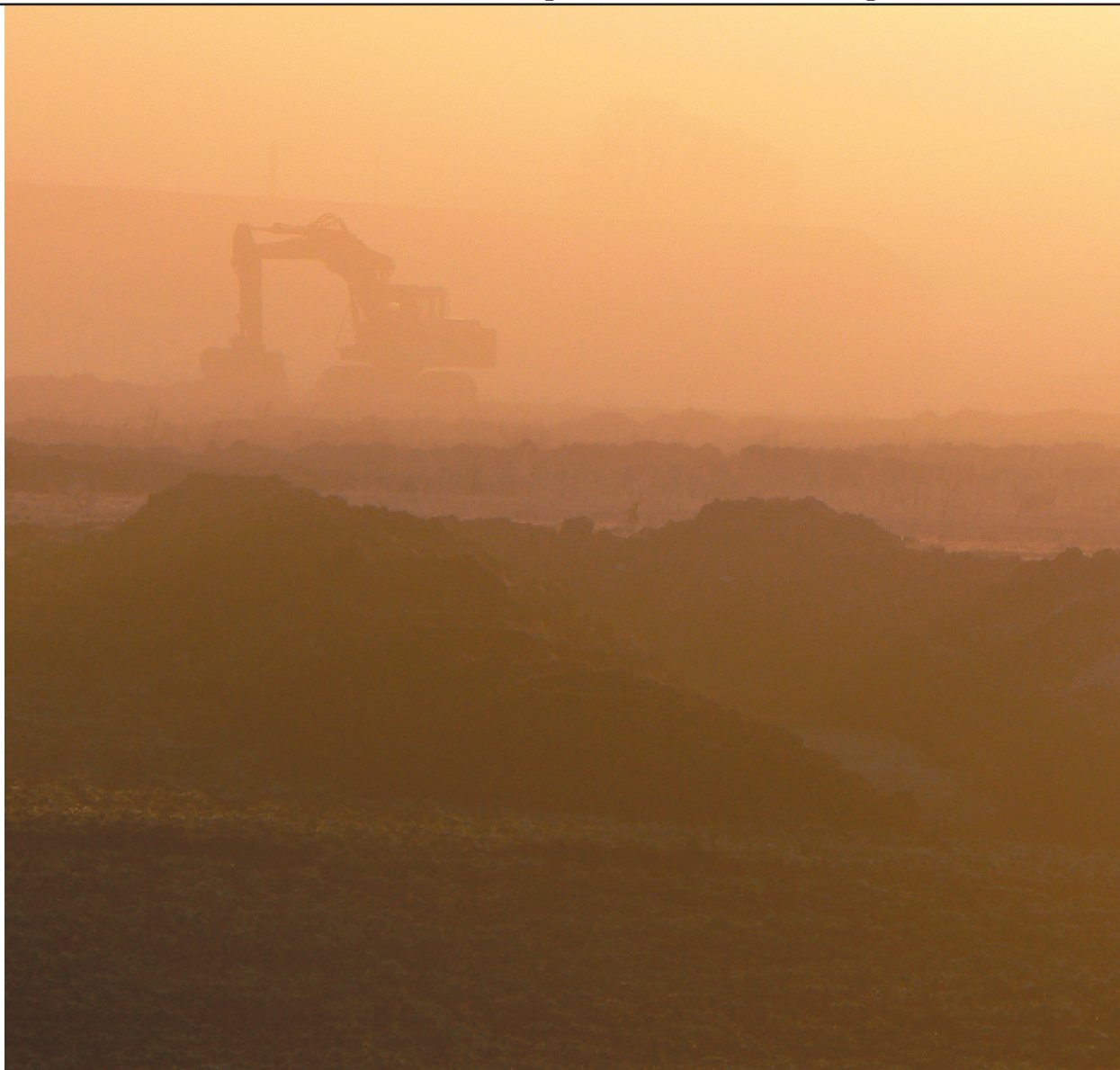


CHÂTEAU-LA-VALLIERE

Contournement de Château-la-Vallière - déviation de la RD 766 (Indre-et-Loire)



B. QUILLIEC, M. GAULTIER, M. LAURENS-BERGE

RAPPORT FINAL D'OPÉRATION DE DIAGNOSTIC ARCHÉOLOGIQUE

VOLUME 2 : ILLUSTRATIONS

DIAGNOSTIC RÉALISÉ DU 17 SEPTEMBRE 2007 AU 19 DÉCEMBRE 2007

ARRÊTÉ DE PRESCRIPTION N° : 06/0816

MARS 2008

CHÂTEAU-LA-VALLIERE

Contournement de Château-la-Vallière - déviation de la RD 766 (Indre-et-Loire)

PAR **BÉNÉDICTE QUILLIEC, MATTHIEU GAULTIER ET MATHIEU LAURENS-BERGE**

RAPPORT FINAL D'OPÉRATION DE DIAGNOSTIC ARCHÉOLOGIQUE

VOLUME 2 : ILLUSTRATIONS

DIAGNOSTIC RÉALISÉ DU 17 SEPTEMBRE 2007 AU 19 DÉCEMBRE 2007

ARRÊTÉ DE PRESCRIPTION N° : 06/0816

MARS 2008

Quilliec et al. 2008 : QUILLIEC Bénédicte, GAULTIER Matthieu, LAURENS-BERGE Mathieu - Château-la-Vallière, Contournement de Château-la-Vallière - rapport final d'opération de diagnostic archéologique, réalisé du 17 septembre 2007 au 19 décembre 2007, Conseil Général d'Indre-et-Loire, SRA Centre, Orléans, 2008.

LISTE DES FIGURES

- Figure 1 : carte de localisation de Château-la-Vallière et Couesmes en France
- Figure 2 : localisation du projet sur la carte au 1/25000 de l'IGN (© IGN Paris - Scan 25 - 2005 - Autorisation de reproduction n° 2006/CUDC/0186) – indication des deux phases de l'intervention
- Figure 3 : Phase 1, modification de l'emprise
- Figure 4 : Phase 2, modifications de l'emprise
- Figure 5 : plan de l'emprise accessible
- Figure 6 : plan des occupations temporaires et des parcelles acquises
- Figure 7 : contexte archéologique et historique
- Figure 7bis : Projet d'alignement de la route royale menant au Lude (ADIL C204 et C208) et extrait de la carte dite de Cassini
- Figure 8 : extrait de la carte géologique au niveau du projet de déviation, localisation des sondages géotechniques et géomorphologiques réalisés
- Figure 9 : réseau hydrographique local
- Figure 10 : sondages carottés géotechniques et géomorphologiques au niveau du franchissement de la Fare
- Figure 11 : formations sédimentaires rencontrées le long du tracé – synthèse des logs stratigraphiques des tranchées
- Figure 12 : tranchées de diagnostic positives et négatives
- Figure 13 : localisation des vestiges préhistoriques
- Figure 14 : plan général de l'occupation protohistorique au lieu-dit La Tesserie
- Figure 15 : coupes des fossés de l'enclos de la Tène
- Figure 16 : groupement septentrional de poteaux protohistoriques
- Figure 17 : groupement méridional de poteaux protohistoriques
- Figure 18 : coupes de F44, F201 et F203
- Figure 19 : répartition du matériel découvert sur le site de La Tesserie
- Figure 20 : mobilier archéologique de la fin de la Tène : céramique, terre cuite et métal
- Figure 21 : Vestiges protohistoriques sur le reste du tracé du projet de contournement
- Figure 22 : carte de localisation des sites de la Tène autour de Château-la-Vallière
- Figure 23 : plan de l'occupation du haut moyen âge de La Fuye
- Figure 24 : Plan de la concentration C1 – coupe de F118
- Figure 25 : photographie du foyer 113 et des faits environnants
- Figure 26 : Plan de la concentration C2 – coupe de quelques faits
- Figure 27 : plan de la concentration C3 – coupe de quelques faits - photographie du four 137
- Figure 28 : mobilier du haut moyen âge : céramique et lithique
- Figure 29 : synthèses des attributions chronologiques du mobilier céramique du site du haut moyen âge
- Figure 30 : mobilier métallique du haut moyen âge
- Figure 31 : localisation de F79 – profil d'une céramique du bas moyen âge
- Figure 32 : Plan de l'occupation moderne au nord de La Vallerie
- Figure 33 : coupes de fossés du secteur de la ferme moderne
- Figure 34 : la cave moderne F288, coupe est-ouest et détail du mur ouest
- Figure 35 : coupe et plan du four F19
- Figure 36 : mobilier moderne découvert dans F288
- Figure 37 : Traces d'exploitation modernes et contemporaines du territoire
- Figure 38 : plan et photographie du puits contemporain F108
- Figure 39 : localisation du séchoir à tabac contemporain (structure 1) – vue depuis la RD766
- Figure 40 : vue du mur nord du séchoir
- Figure 41 : plan de la structure, coupe transversale du bâtiment au niveau d'une ferme, coupe longitudinale du bâtiment entre deux fermes
- Figure 42 : vue de détail au niveau de la liaison entre le poinçon et l'entrait sur une ferme
- Figure 43 : vue de l'intérieur du séchoir
- Figure 44 : synthèse des découvertes archéologiques sur le tracé du projet de contournement de Château-la-Vallière

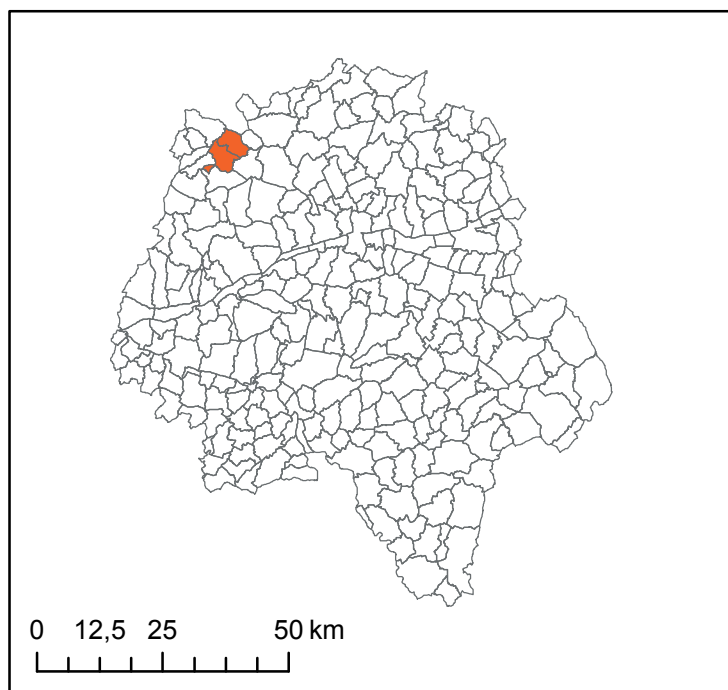
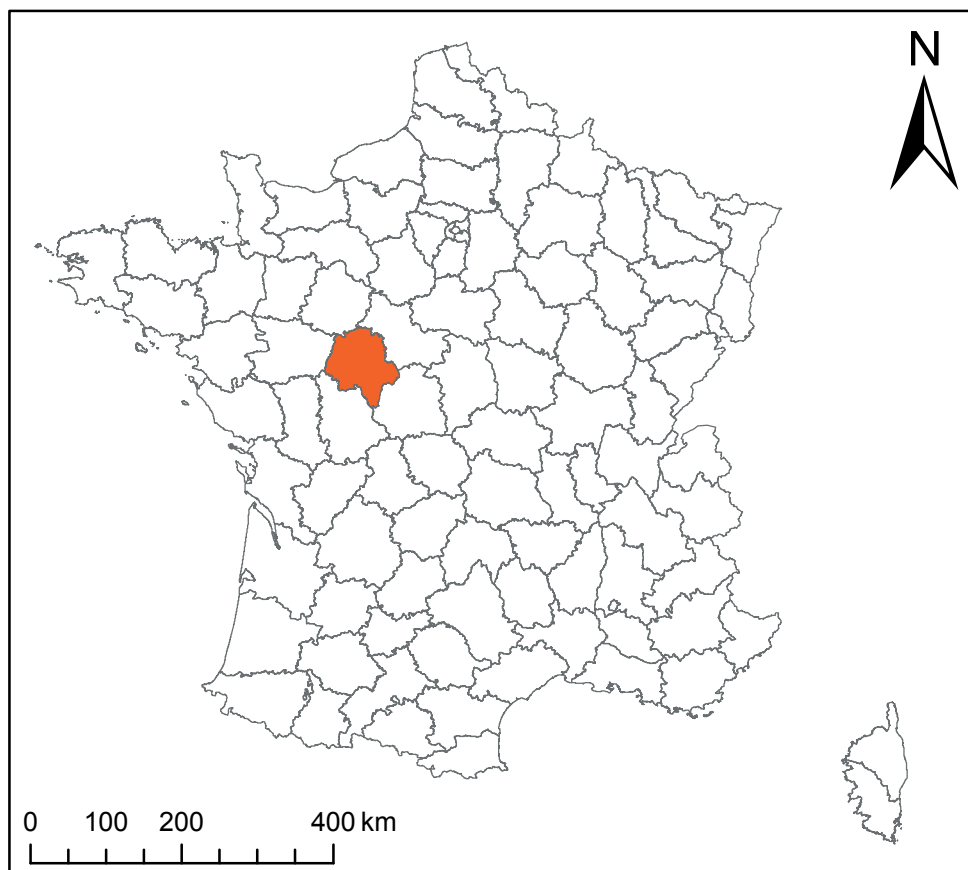


Figure 1 : carte de localisation de Château-la-Vallière et Couesmes en France (M. Gaultier - SADIL)

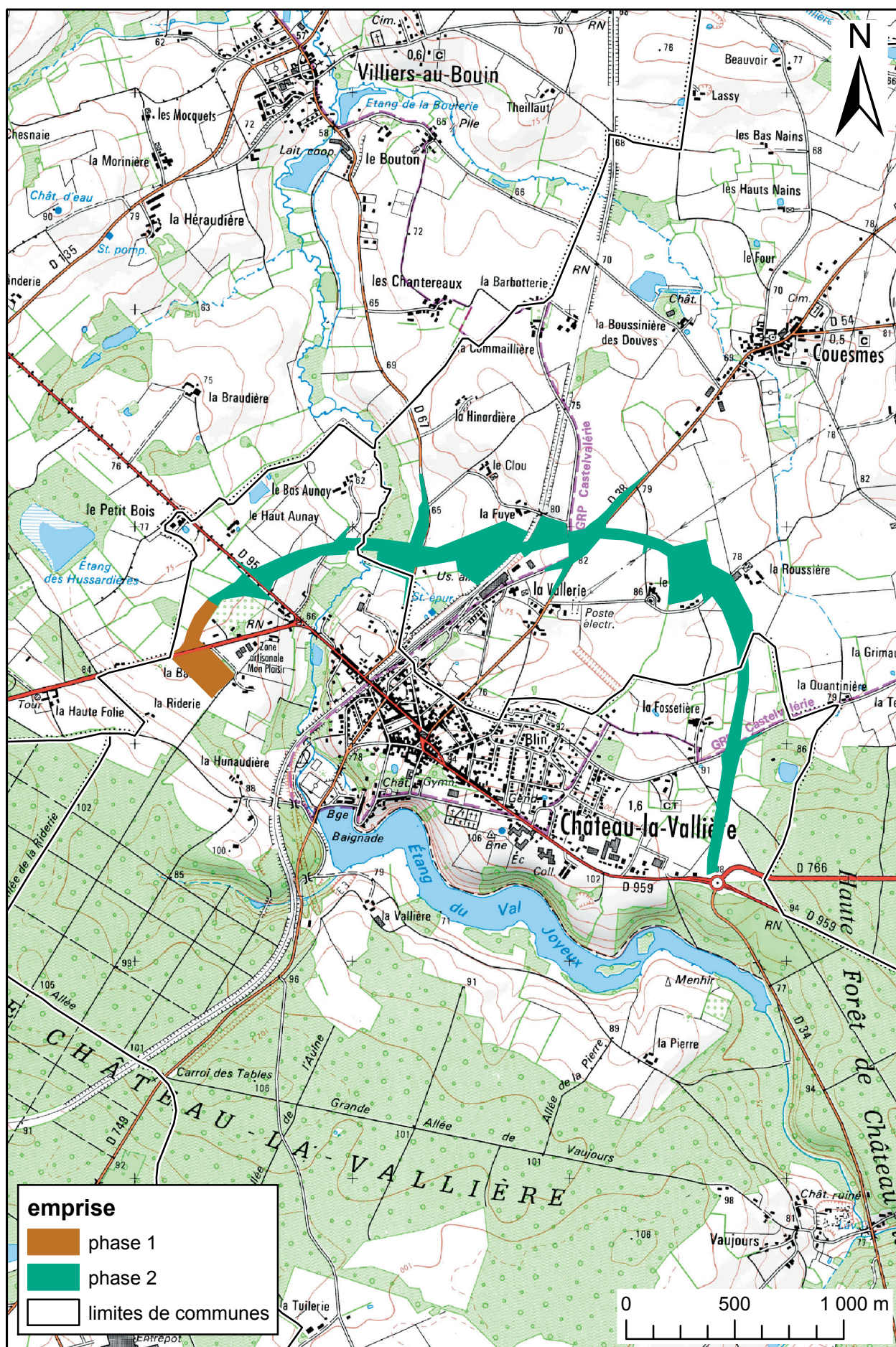


Figure 2 : localisation du projet sur la carte au 1/25000 de l'IGN (© IGN Paris - Scan 25 - 2005 - Autorisation de reproduction n° 2006/CUDC/0186) – indication des deux phases de l'intervention (M. Gaultier - SADIL)

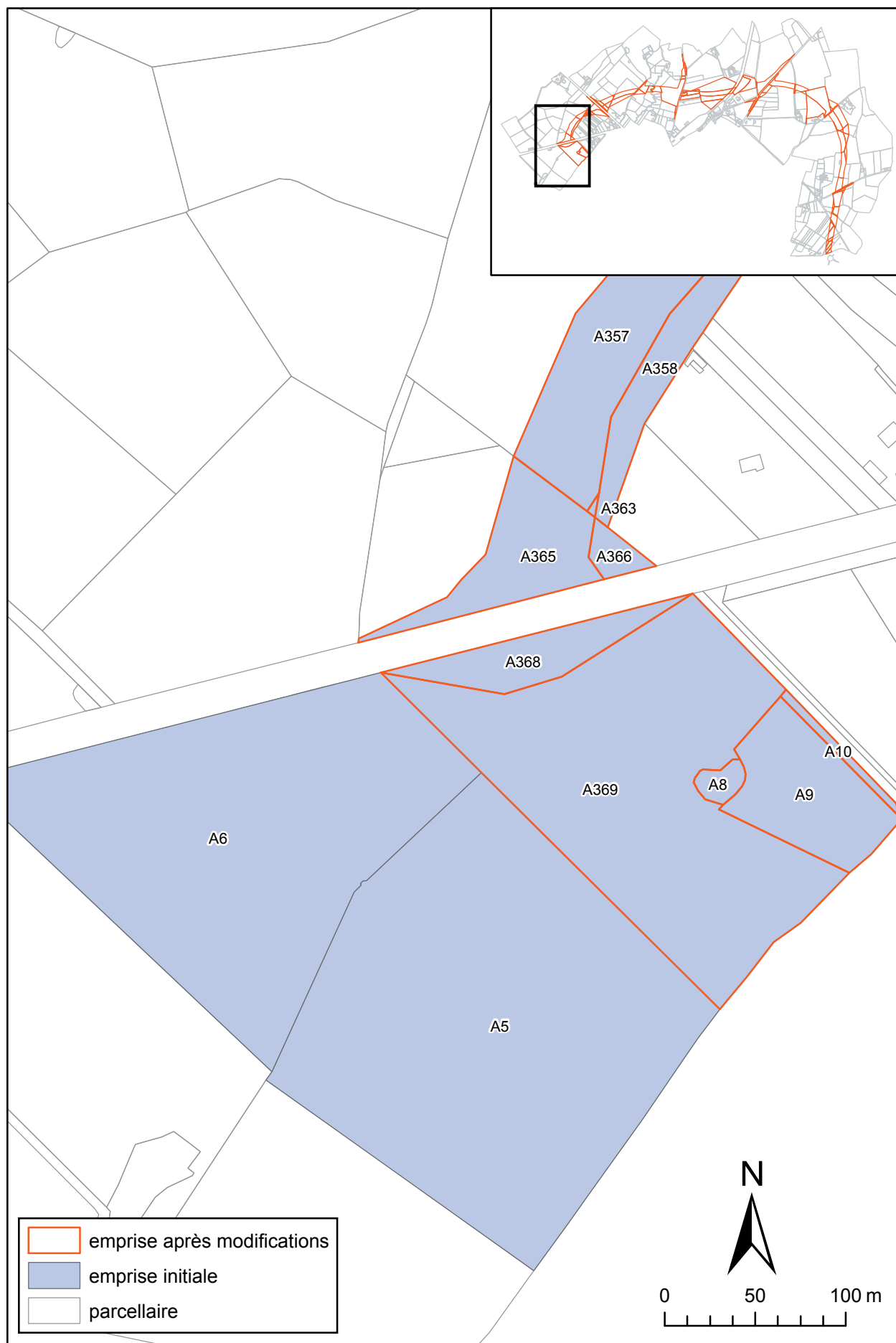


Figure 3 : Phase 1, modification de l'emprise (M. Gaultier - SADIL)

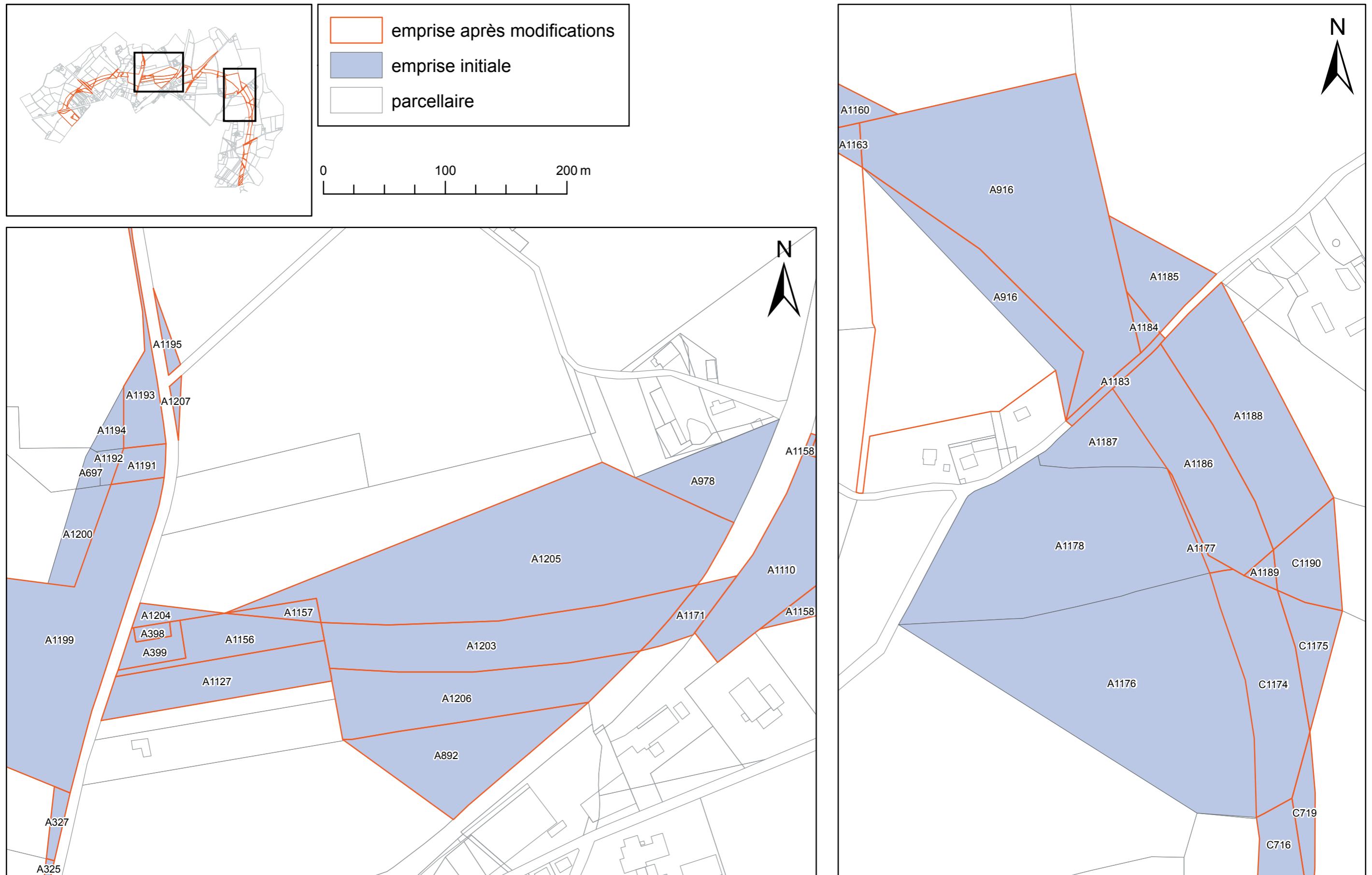


Figure 4 : Phase 2, modifications de l'emprise (M. Gaultier - SADIL)

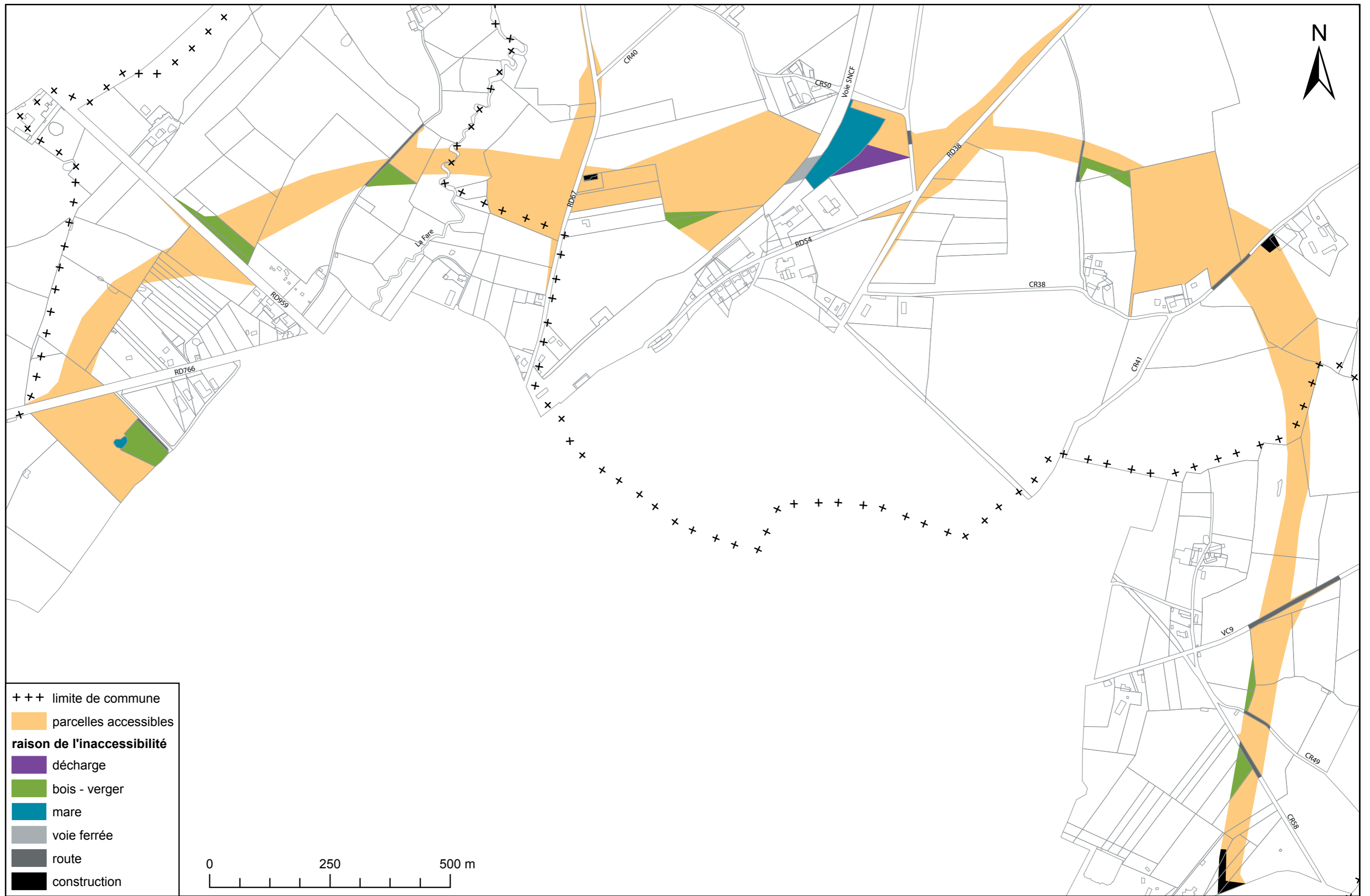


Figure 5 : plan de l'emprise accessible (M. Gaultier - SADIL)

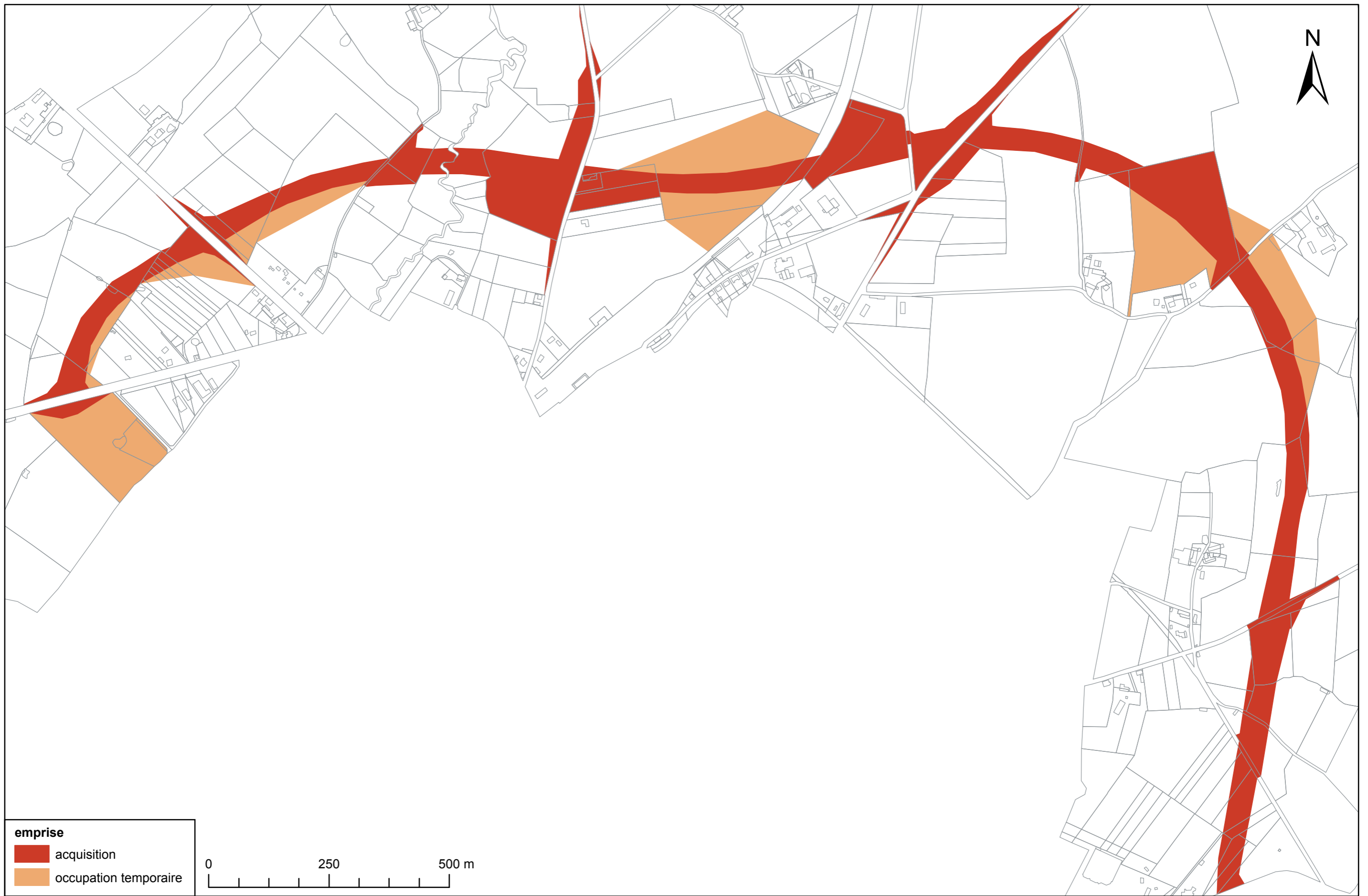


Figure 6 : plan des occupations temporaires et des parcelles acquises (M. Gaultier - SADIL)



Figure 7 : contexte archéologique et historique (M. Gaultier - SADIL)

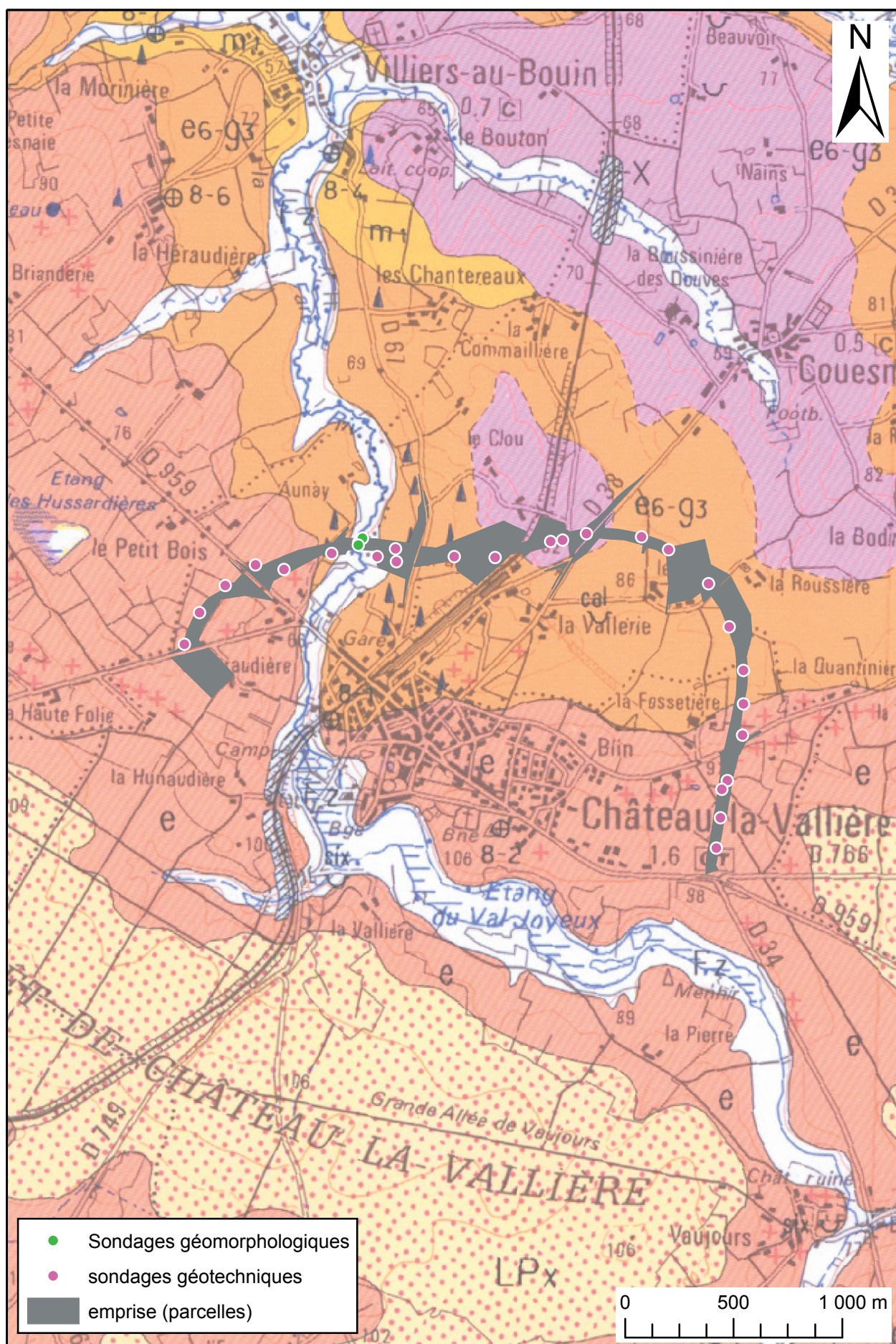


Figure 8 : extrait de la carte géologique au niveau du projet de déviation, localisation des sondages géotechniques et géomorphologiques réalisés (M. Gaultier - SADIL)

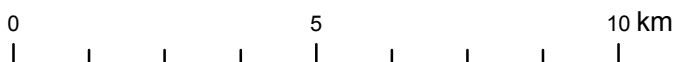
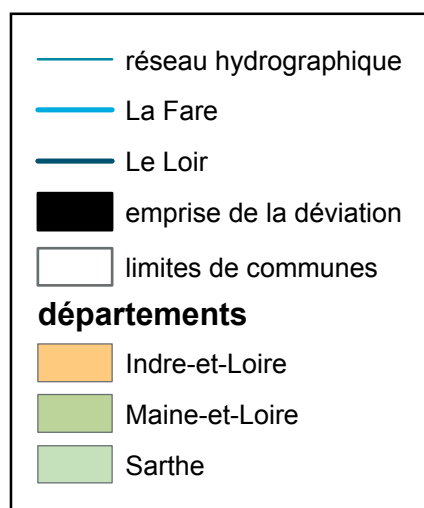
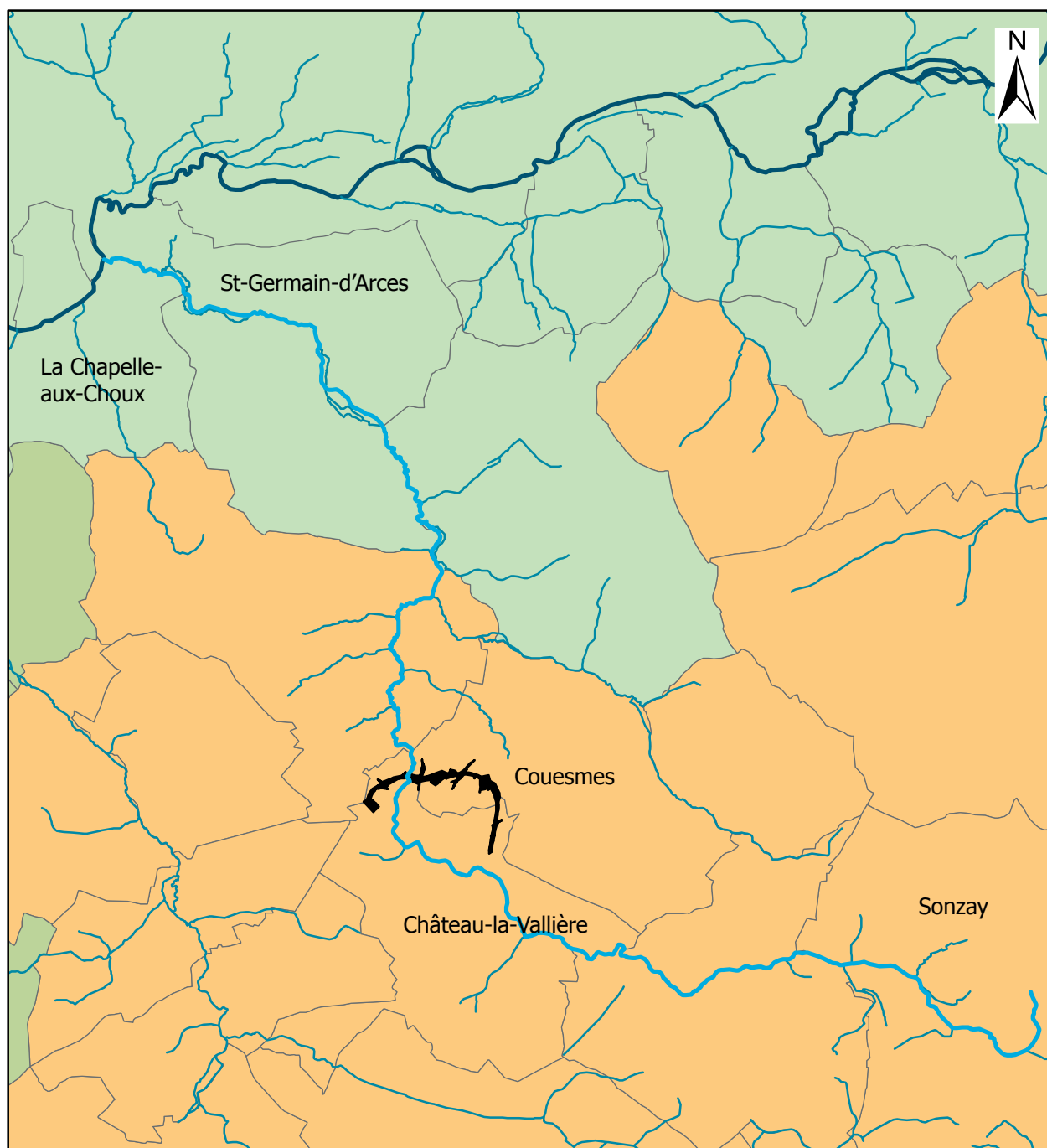


Figure 9 : réseau hydrographique local (M. Gaultier - SADIL)

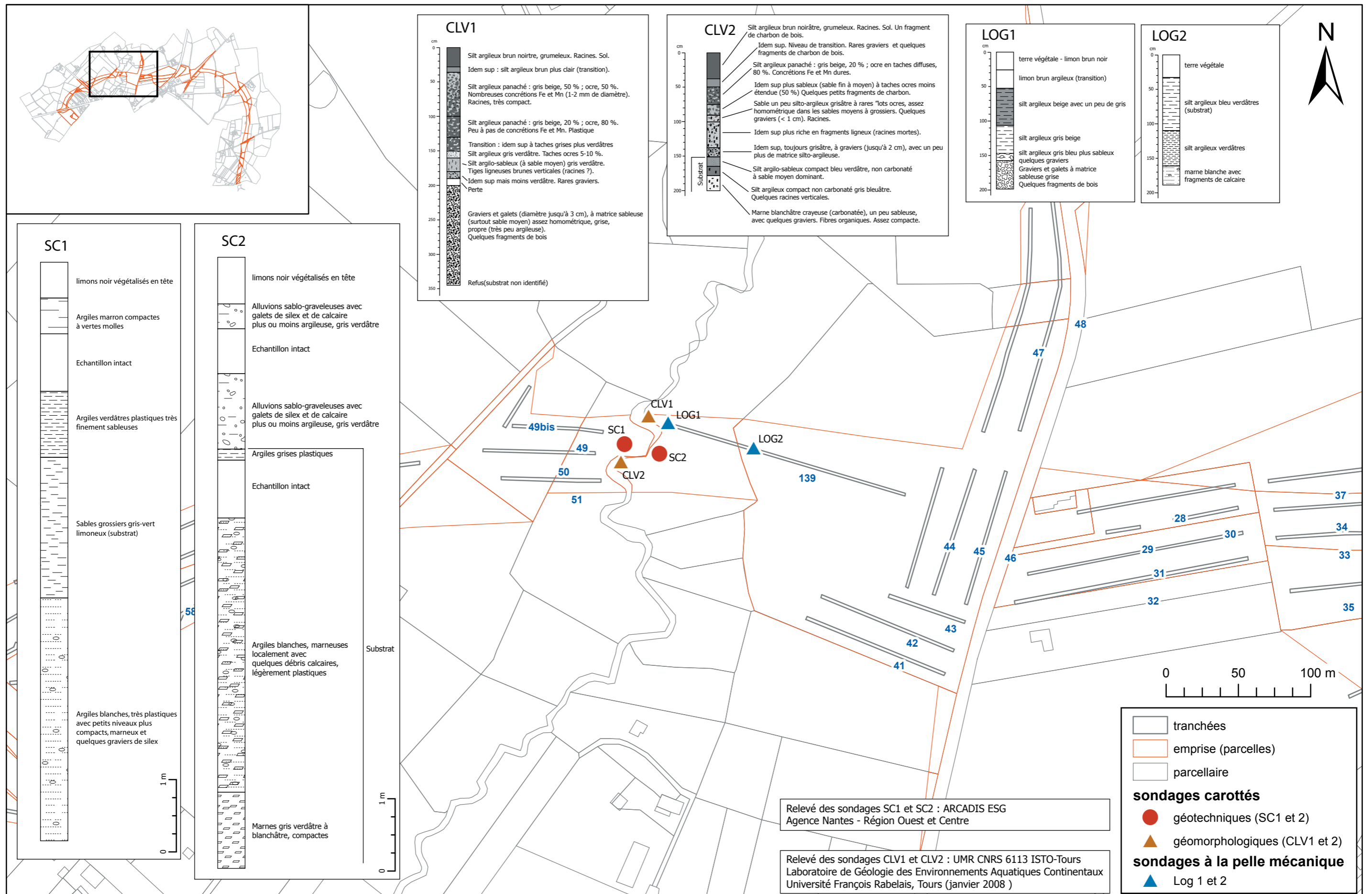


Figure 10 : sondages carottés géotechniques et géomorphologiques au niveau du franchissement de la Fare (M. Gaultier - SADIL)



Figure 11 : formations sédimentaires rencontrées le long du tracé – synthèse des logs stratigraphiques des tranchées (M. Gaultier - SADIL)

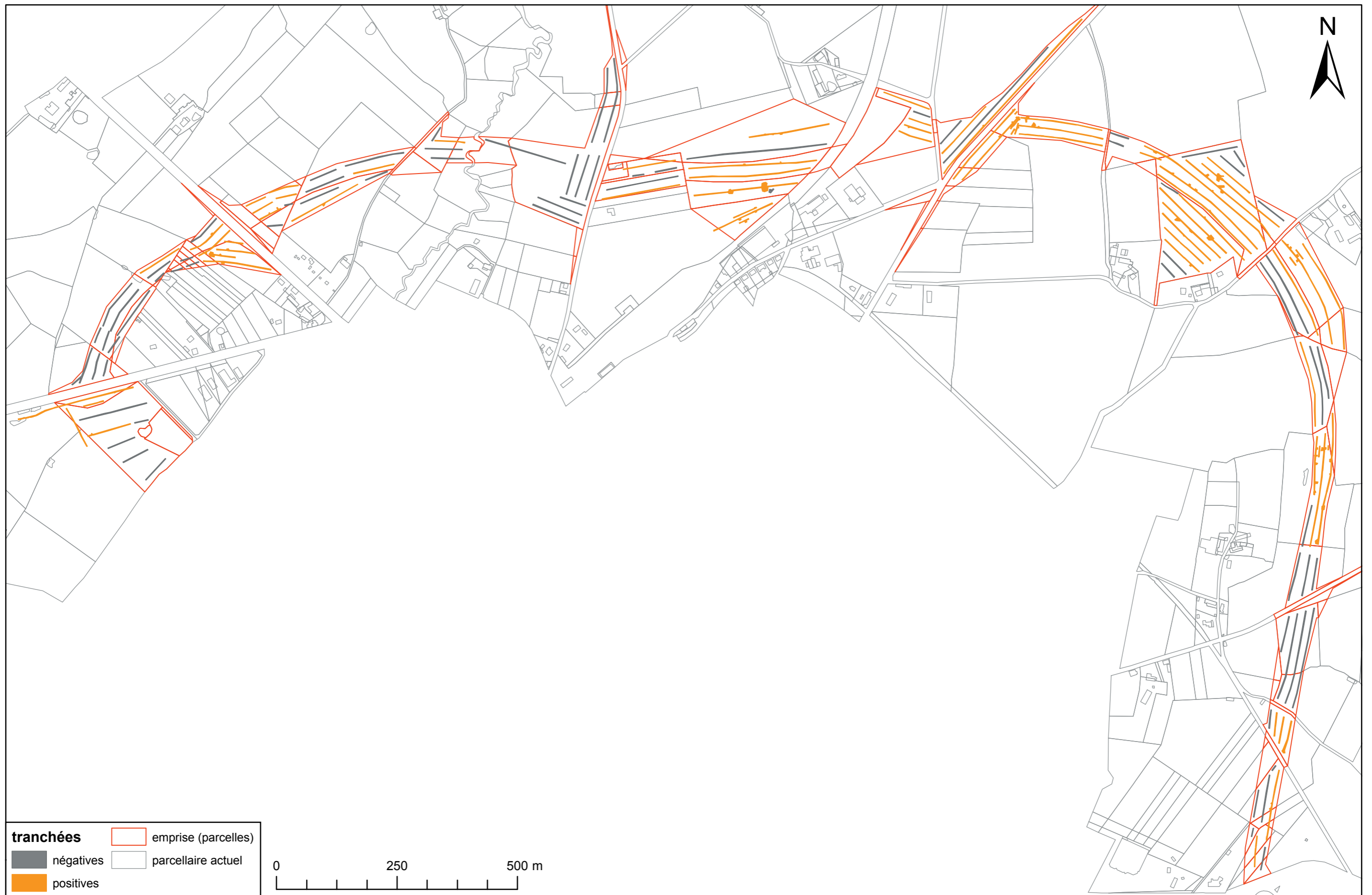


Figure 12 : tranchées de diagnostic positives et négatives (M. Gaultier - SADIL)

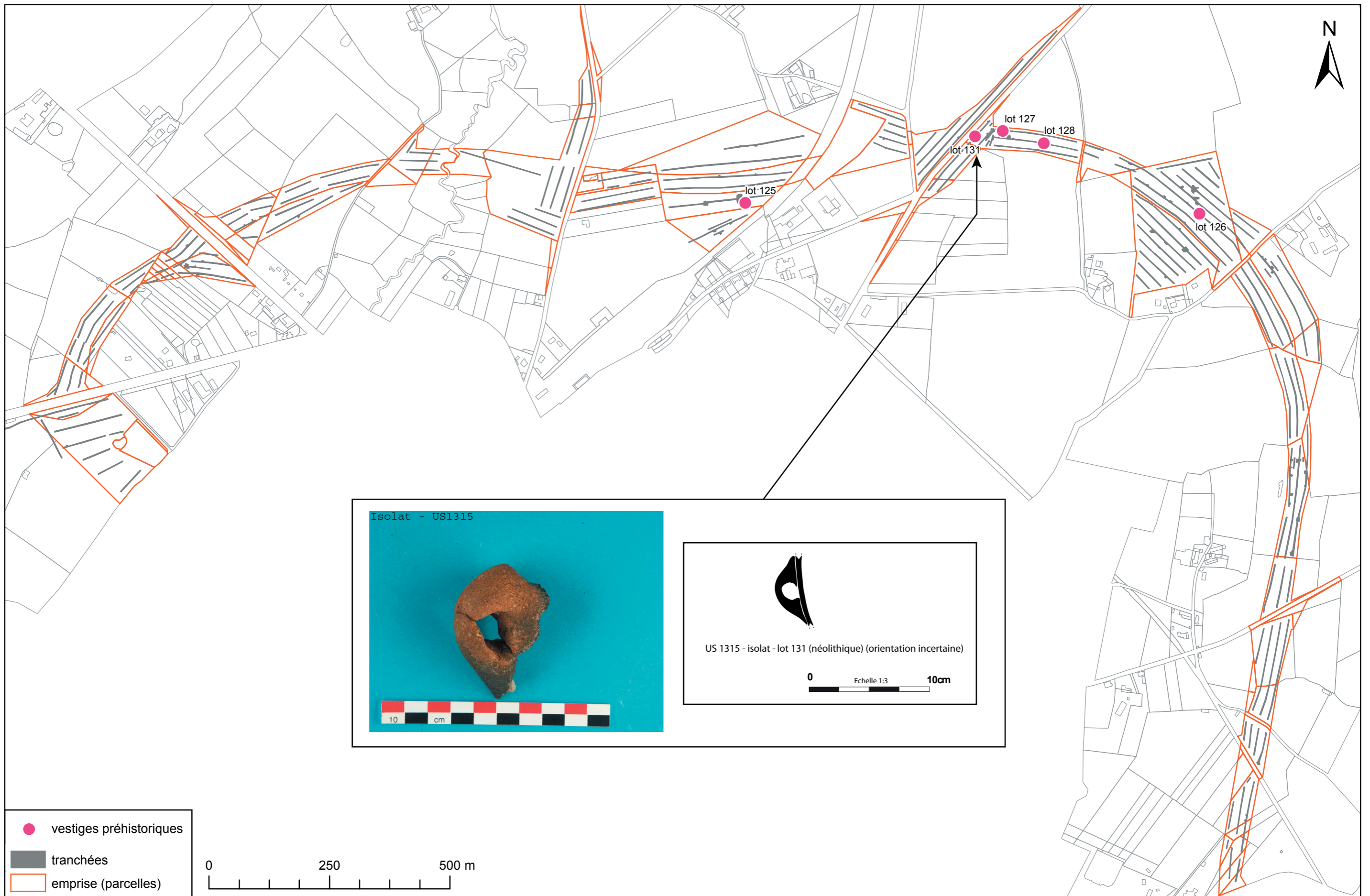


Figure 13 : localisation des vestiges préhistoriques (M. Gaultier, M. Laurens-Berge - SADIL)

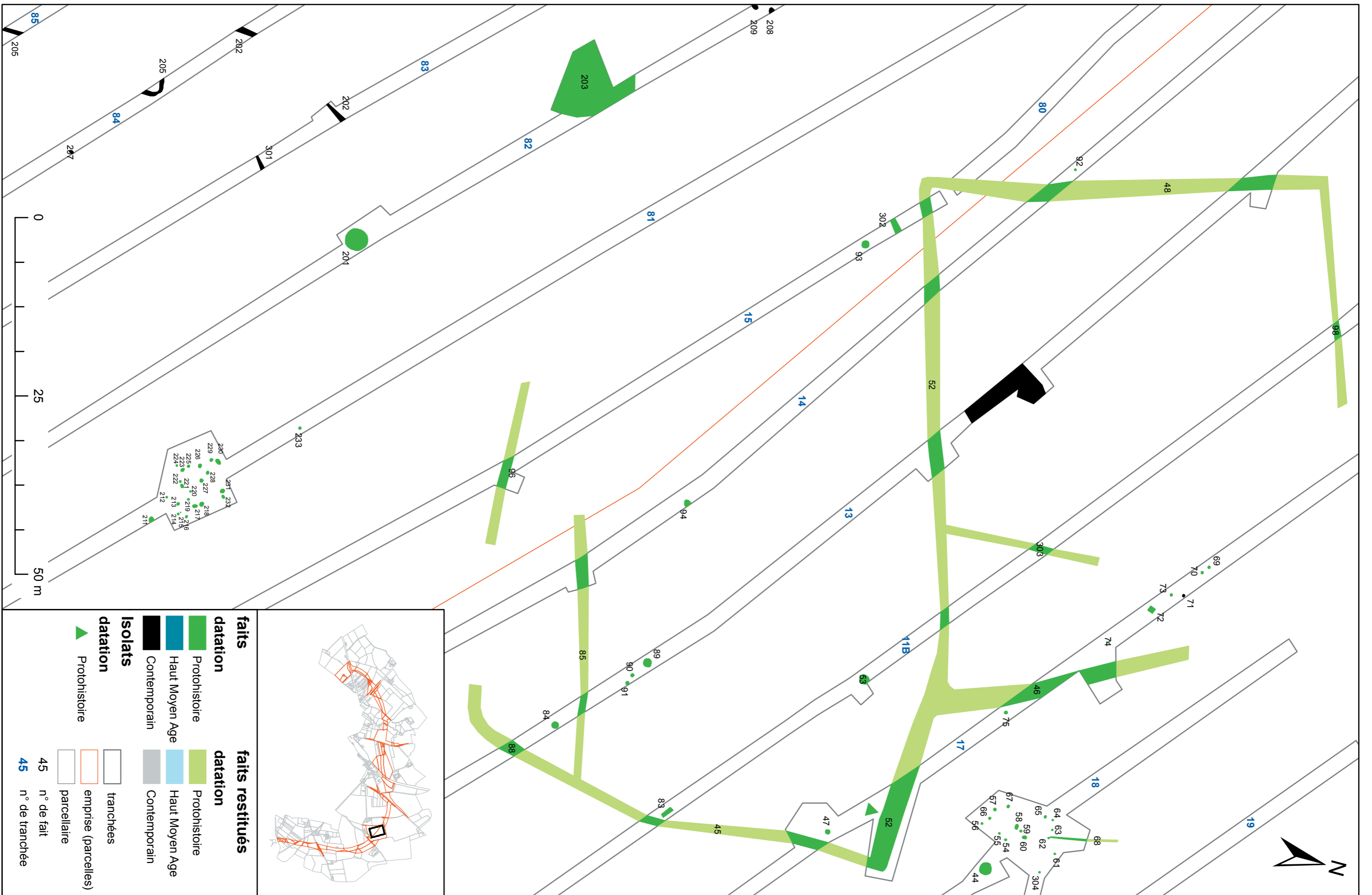


Figure 14 : plan général de l'occupation protohistorique au lieu-dit La Tesserie (M. Gaultier - SADIL)

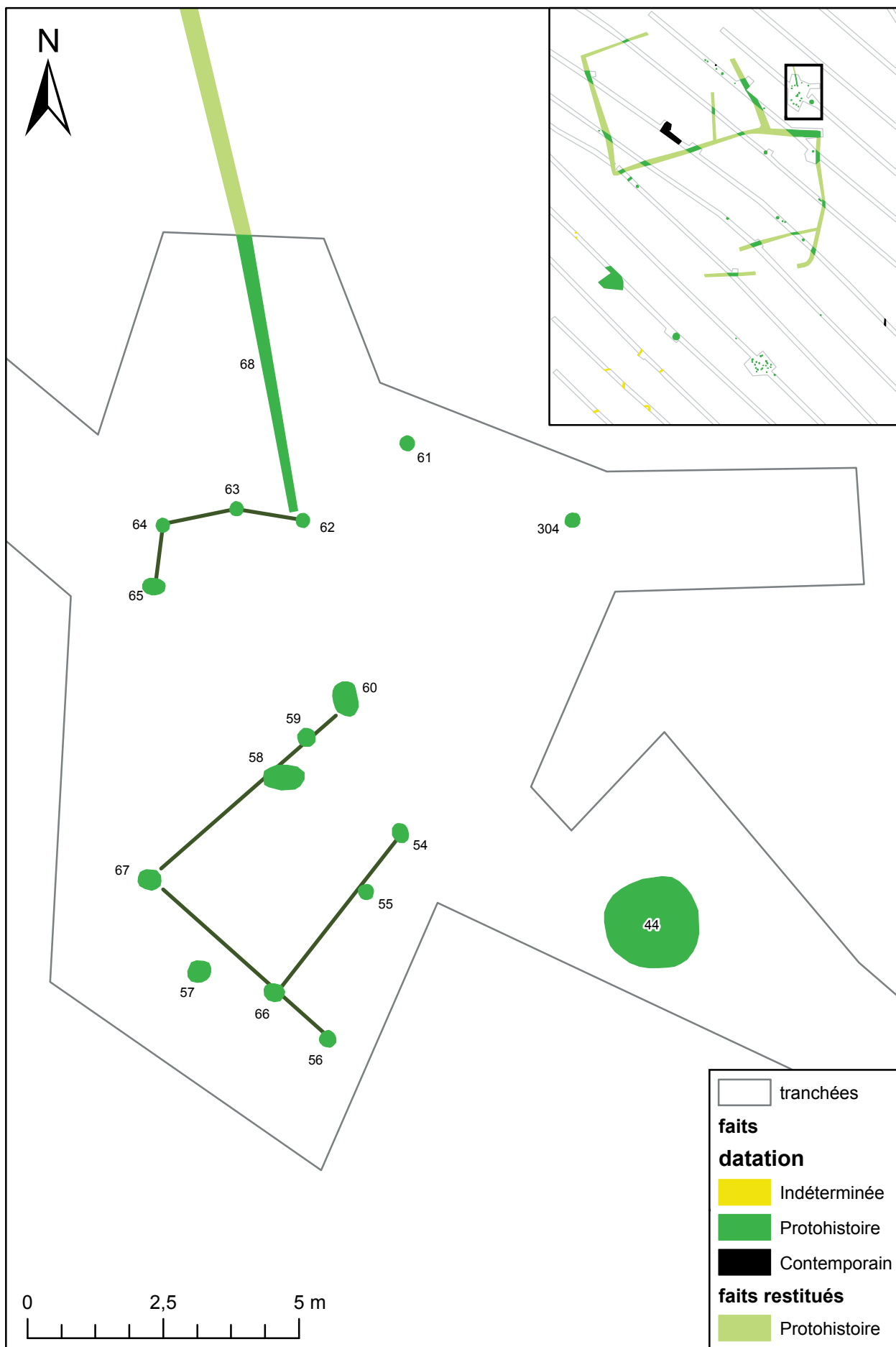


Figure 16 : groupement septentrional de poteaux protohistoriques (M. Gaultier - SADIL)

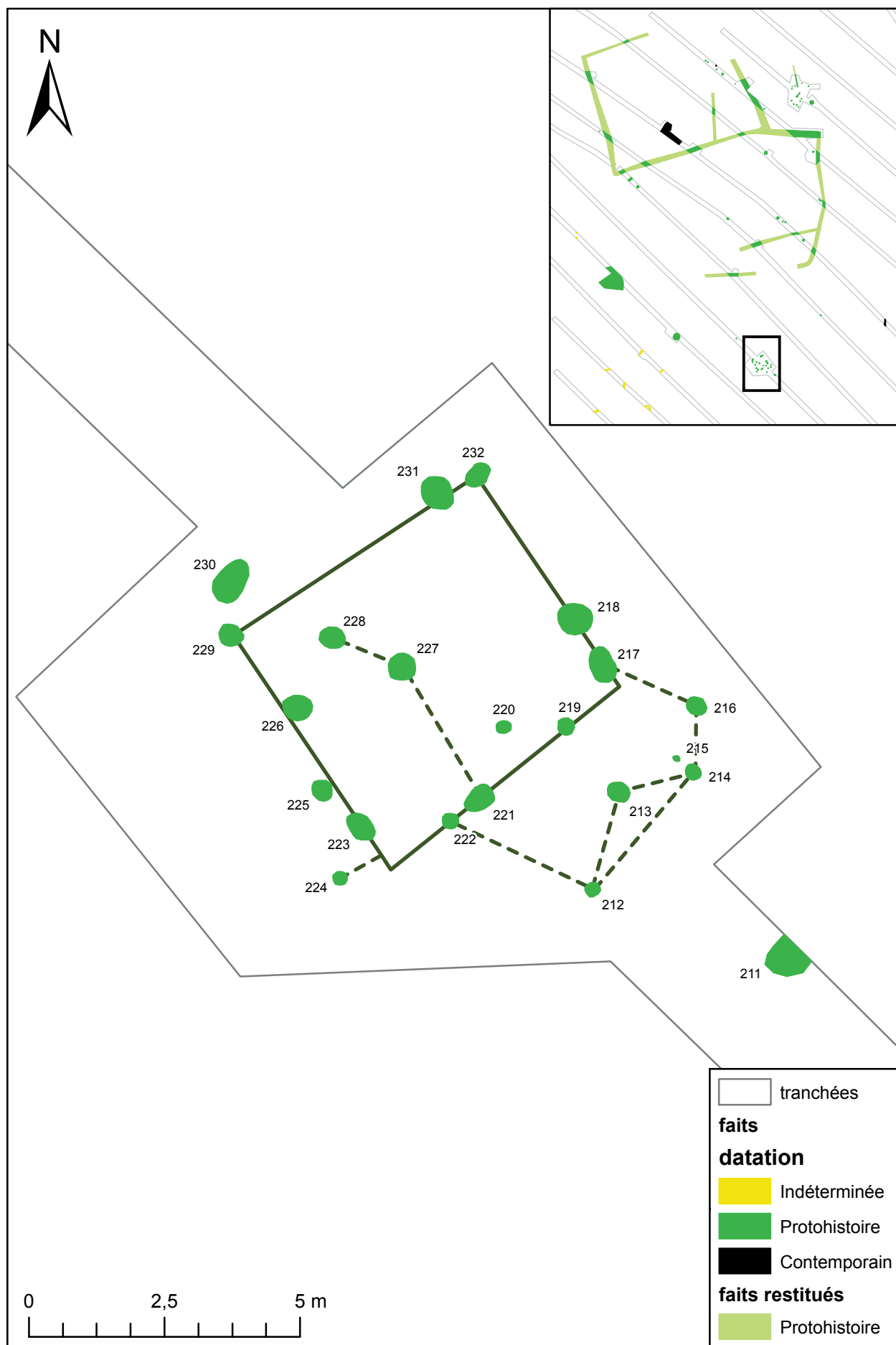


Figure 17 : groupement méridional de poteaux protohistoriques (M. Gaultier - SADIL)

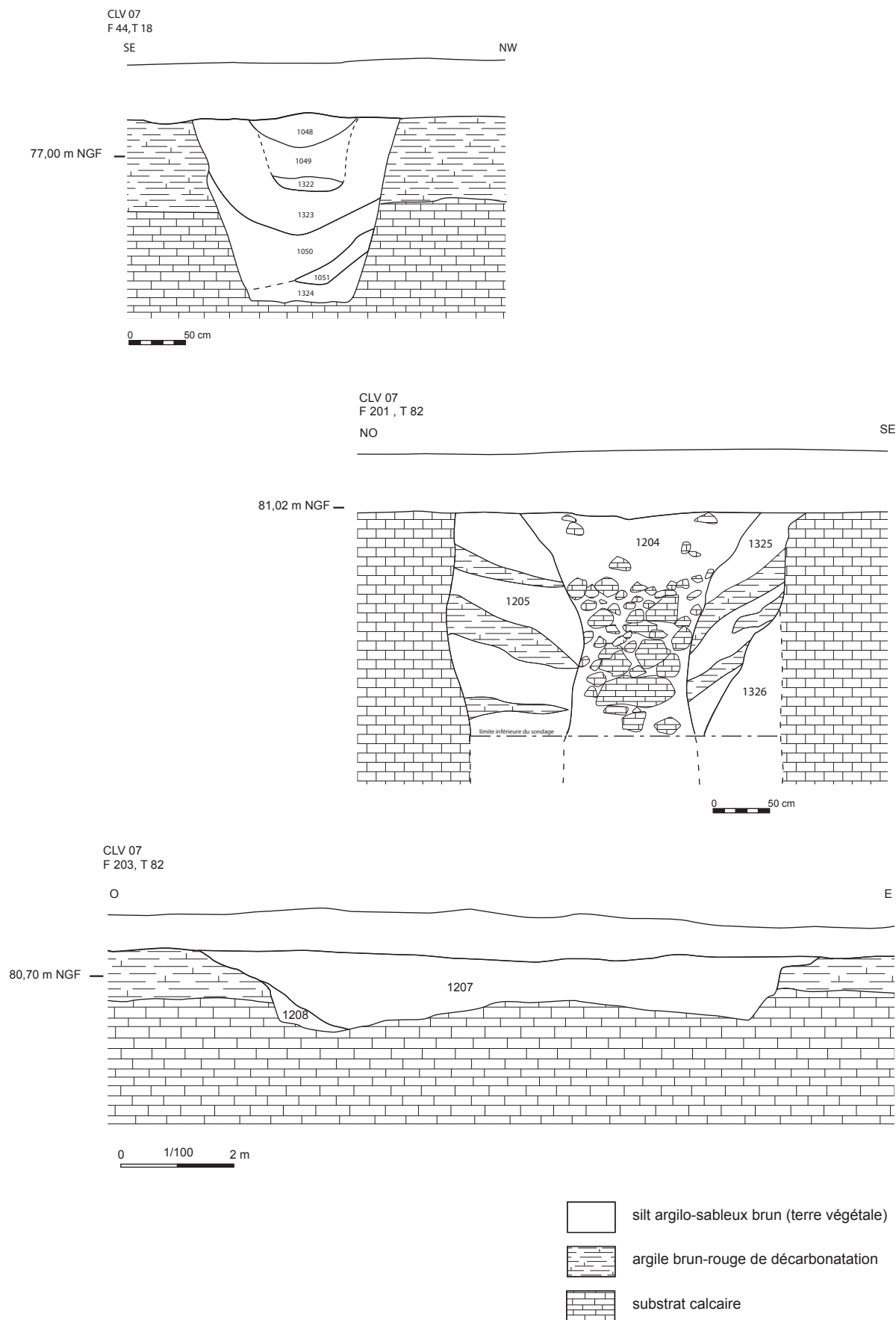


Figure 18 : coupes de F44, F201 et F203 (M. Gaultier, M. Laurens-Berge - SADIL)

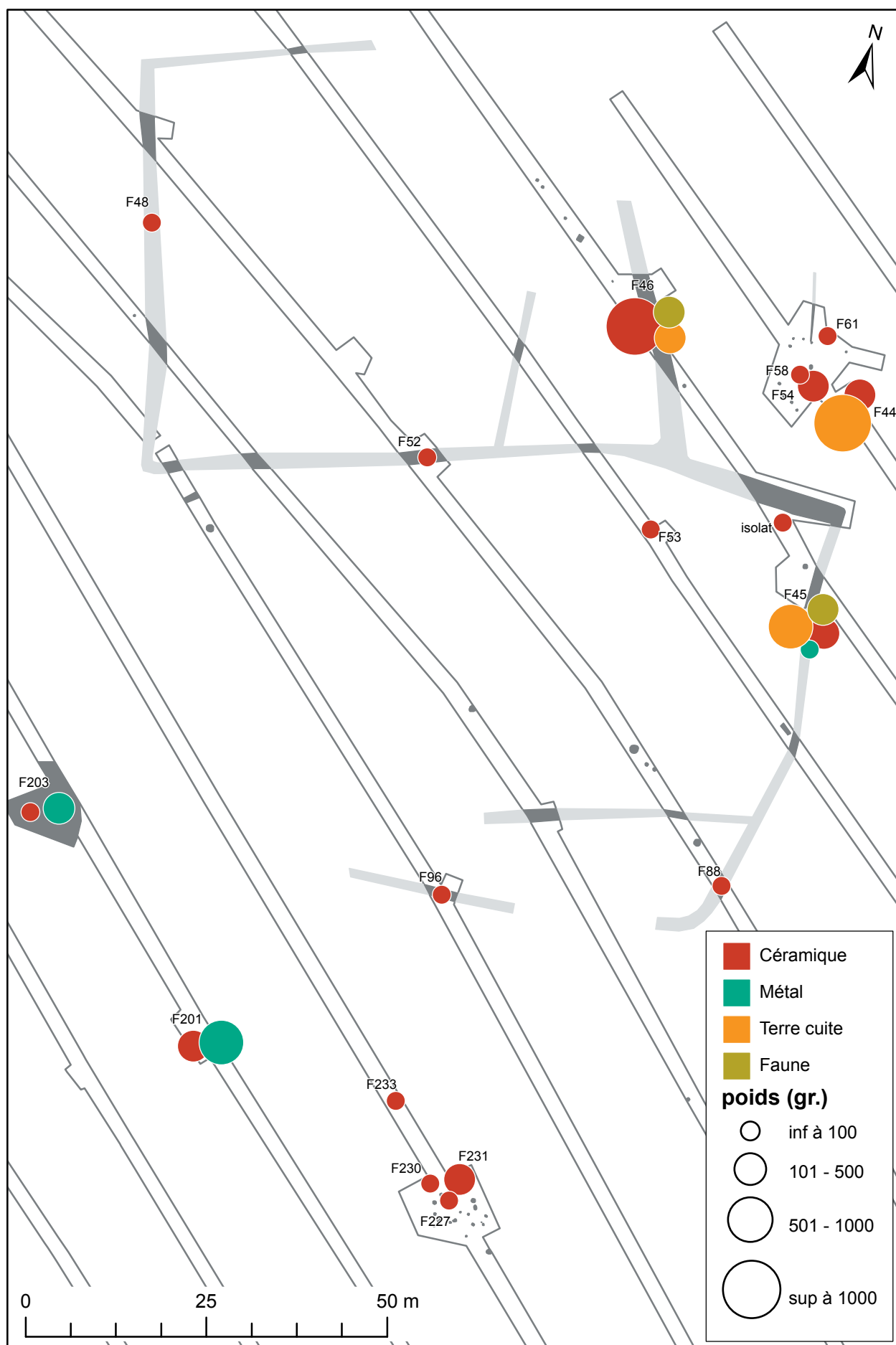
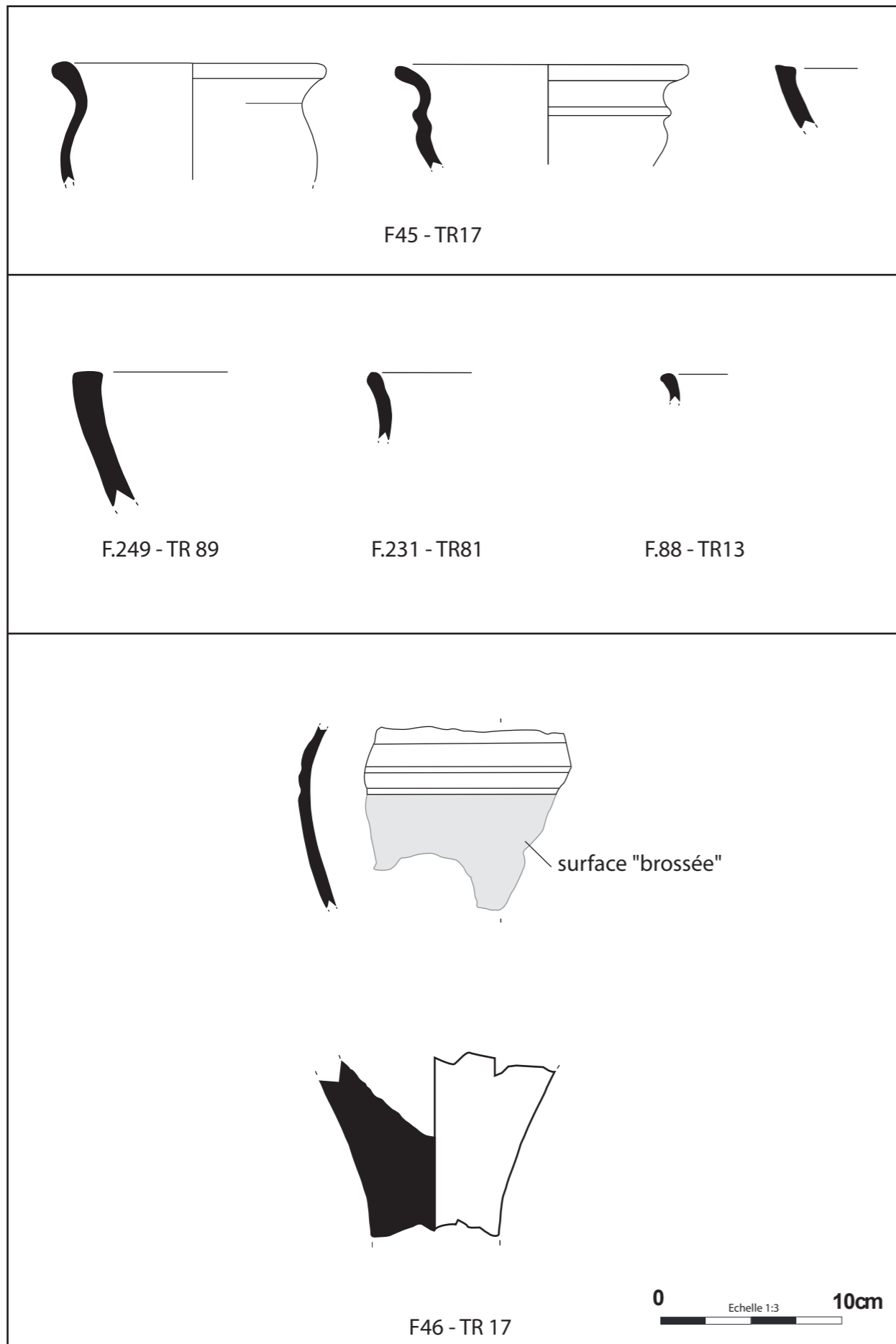


Figure 19 : répartition du matériel découvert sur le site de La Tesserie (M. Gaultier - SADIL)



F201 - US1204

F201 - US 1204 : fragment de culot de forge



F44 - US1050

F44 - US 1050 : fragment de plaque foyer

Figure 20 : mobilier archéologique de la fin de la Tène : céramique, terre cuite et métal (M. Gaultier, M. Laurens-Berge - SADIL)

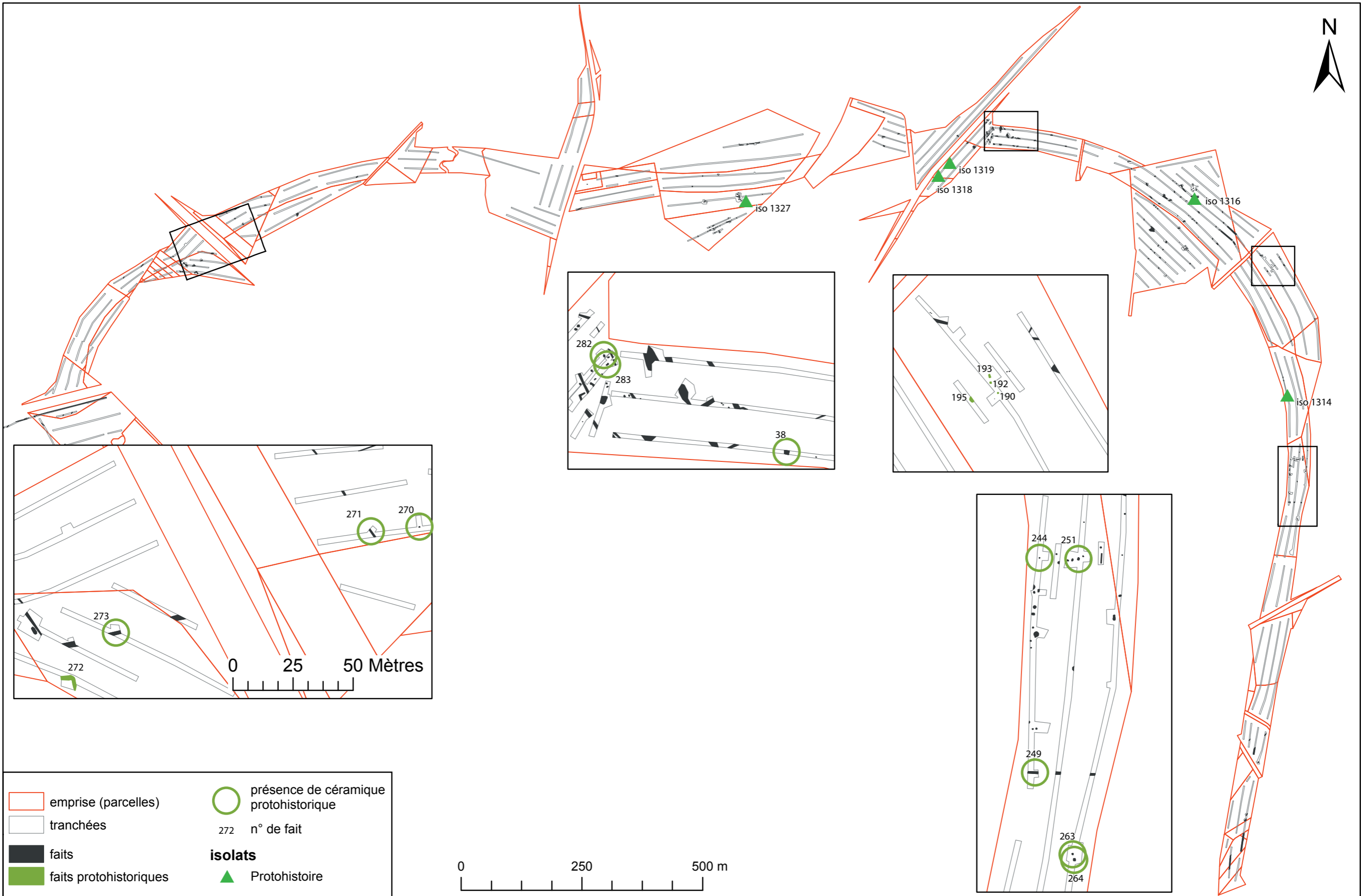


Figure 21 : Vestiges protohistoriques sur le reste du tracé du projet de contournement (M. Gaultier - SADIL)

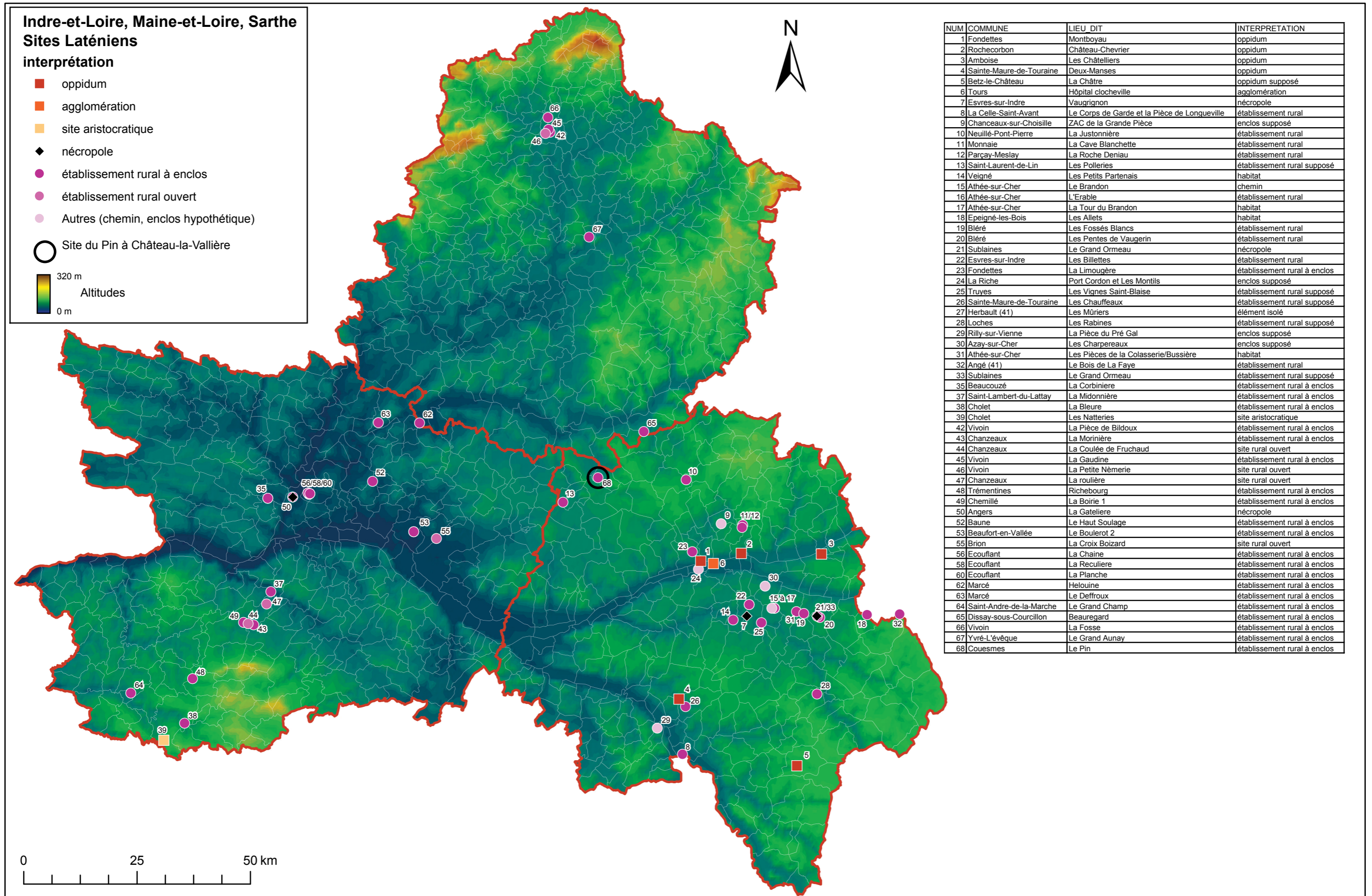


Figure 22 : carte de localisation des sites de la Tène autour de Château-la-Vallière (M. Gaultier - SADIL)

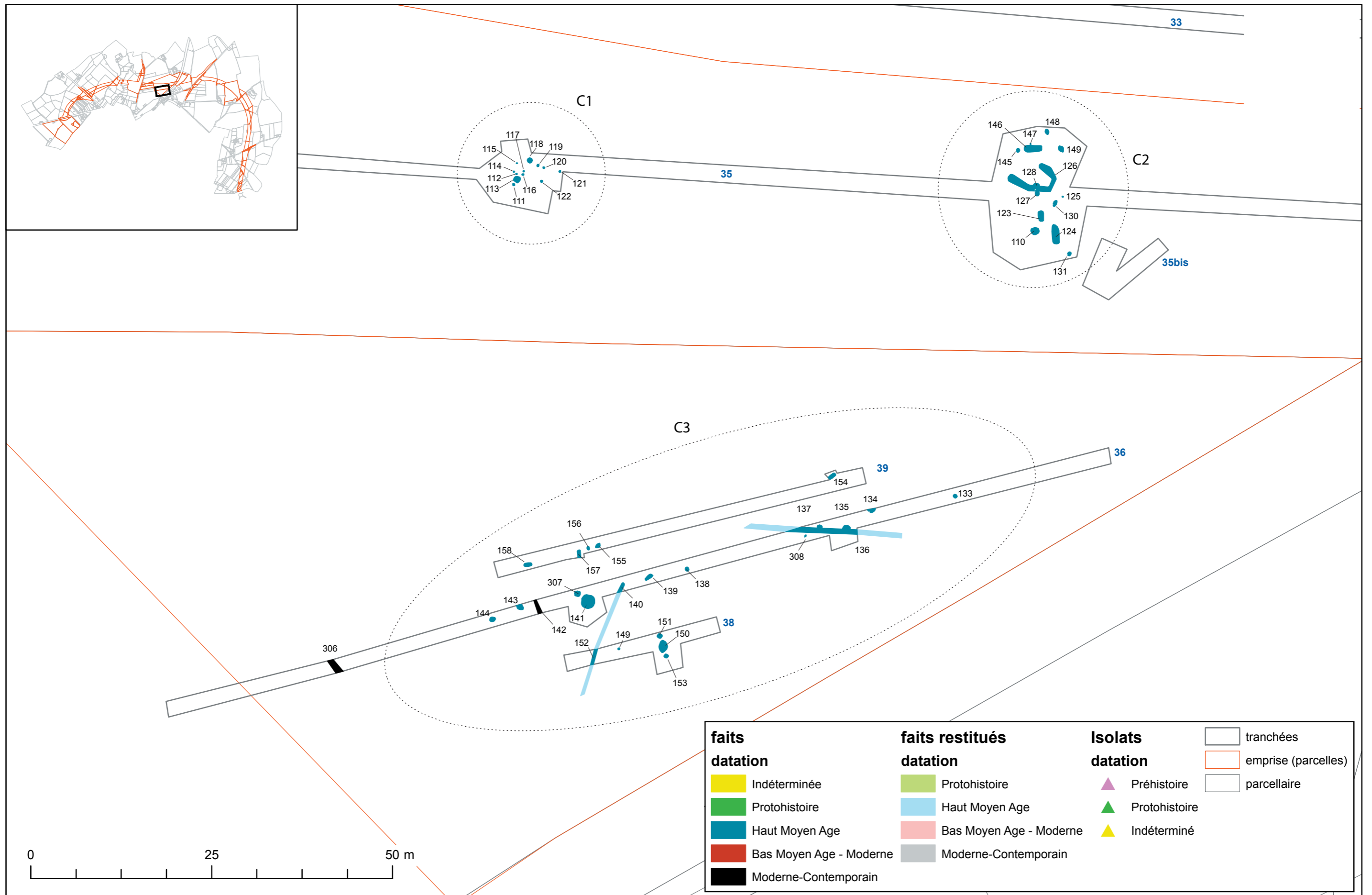


Figure 23 : plan de l'occupation du haut moyen âge de La Fuye (M. Gaultier, M. Laurens-Berge - SADIL)

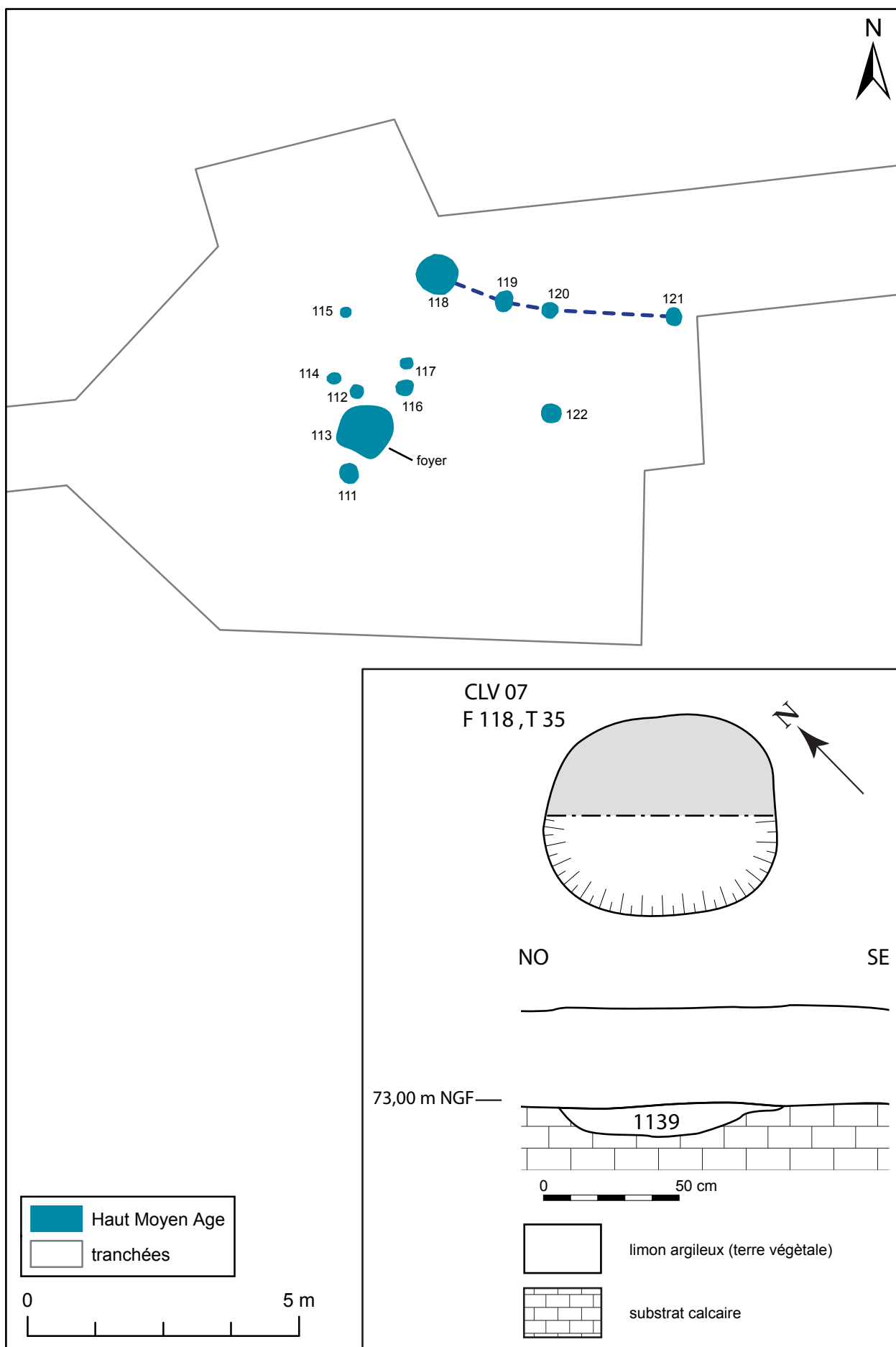


Figure 24 : Plan de la concentration C1 – coupe de F118 (M. Gaultier, M. Laurens-Berge - SADIL)



Figure 25 : photographie du foyer 113 et des faits environnants (M. Laurens-Berge - SADIL)

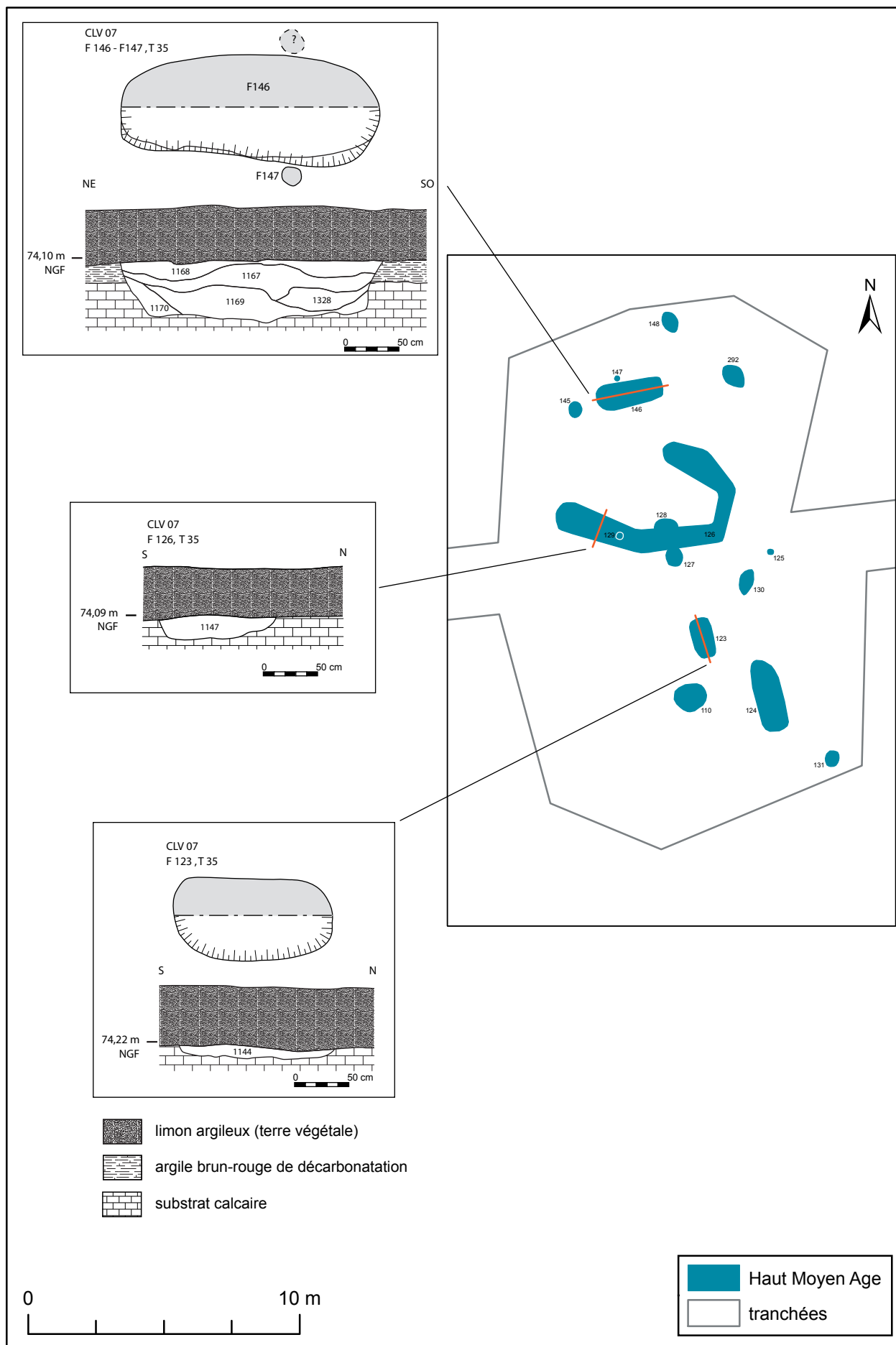


Figure 26 : Plan de la concentration C2 – coupe de quelques faits (M. Gaultier, M. Laurens-Berge - SADIL)

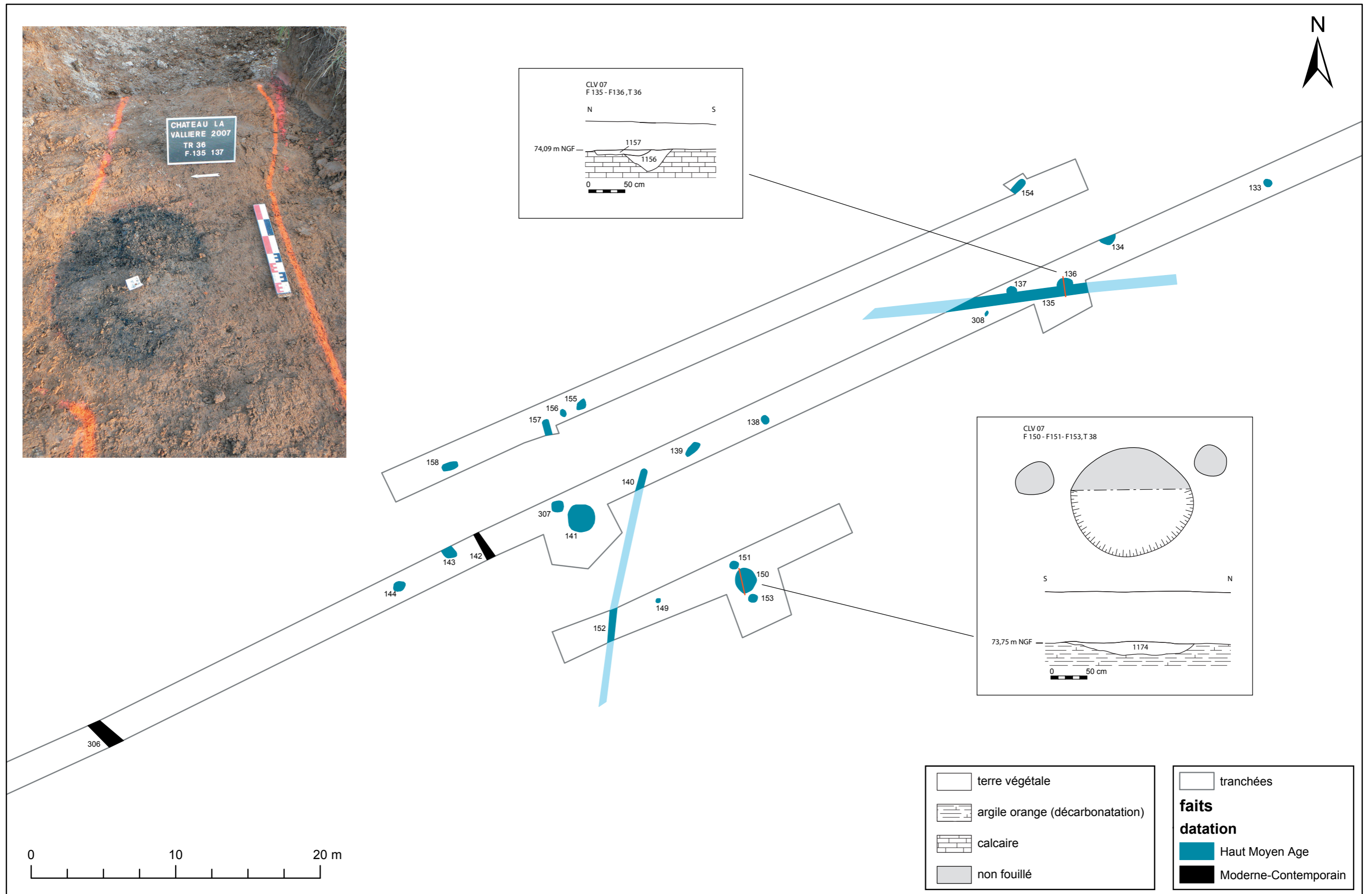
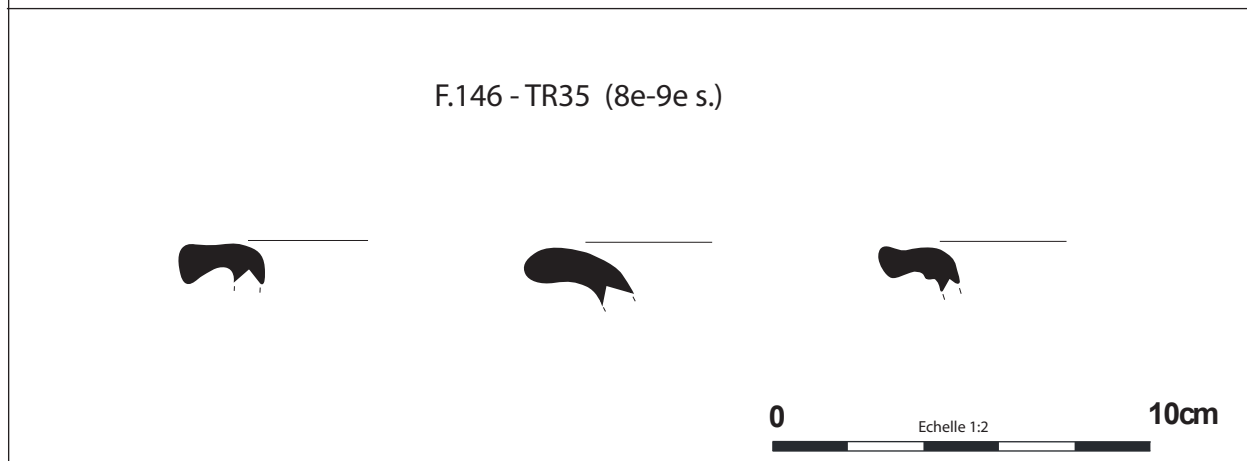
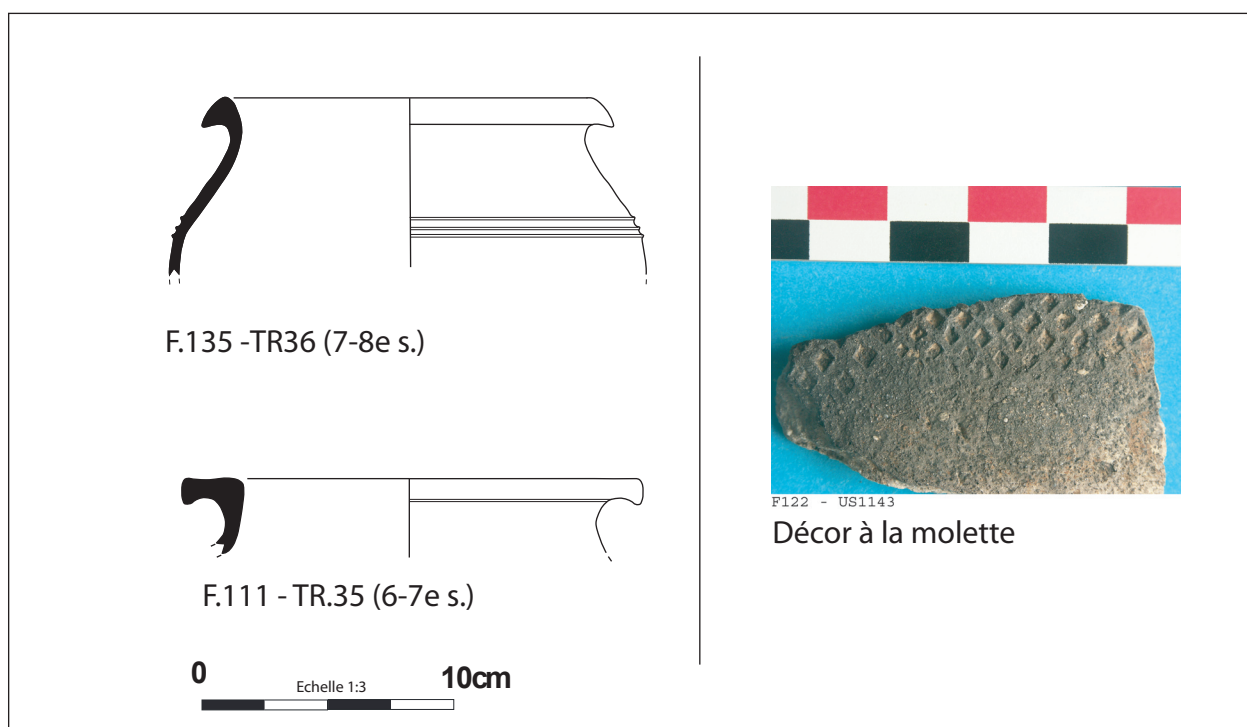


Figure 27 : plan de la concentration C3 – coupe de quelques faits - photographie du four 137 (M. Gaultier, M. Laurens-Berge - SADIL)



F110 - US1130
Fragment de meule

Figure 28: mobilier du haut moyen âge : céramique et lithique (M. Gaultier, M. Laurens-Berge - SADIL)

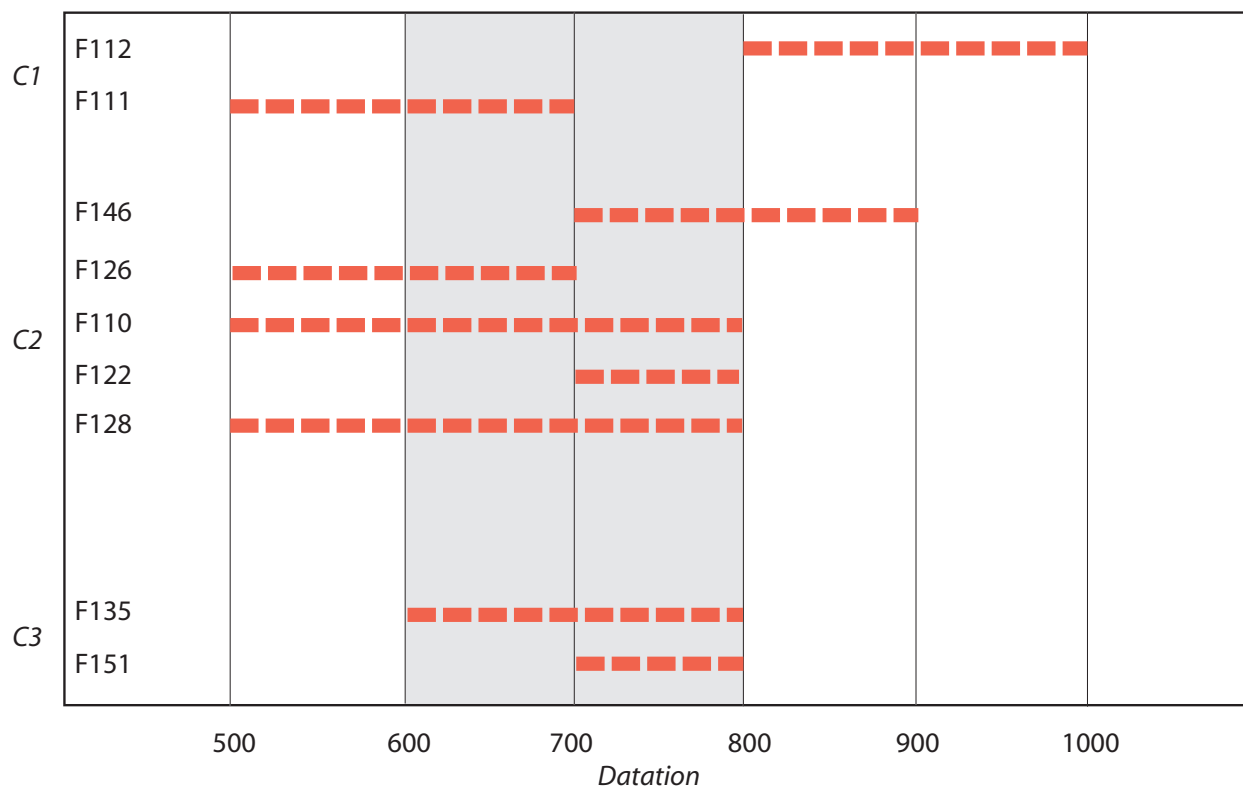


Figure 29 : synthèses des attributions chronologiques du mobilier céramique du site du haut moyen âge (M. Laurens-Berge - SADIL)

F146 - US1167



F146 : couteau (fer)

F146 - US1167



F146 : clou, éléments de serrures (fer)

F110 - US1130



F110 : lame de couteau (fer)

Figure 30 : mobilier métallique du haut moyen âge ((M. Laurens-Berge - SADIL)



Figure 31 : localisation de F79 – profil d'une céramique du bas moyen âge (M. Gaultier, M. Laurens-Berge - SADIL)

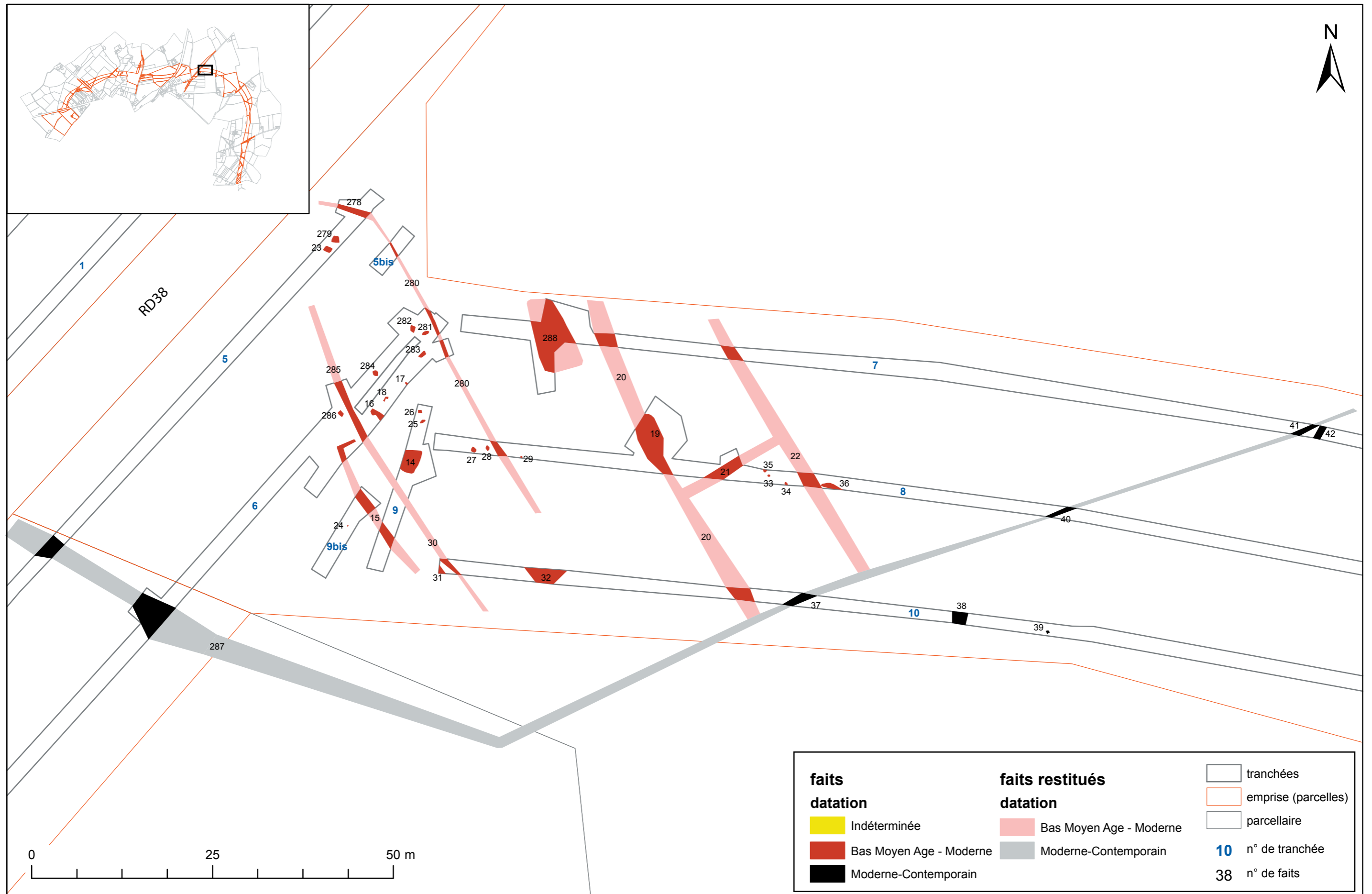
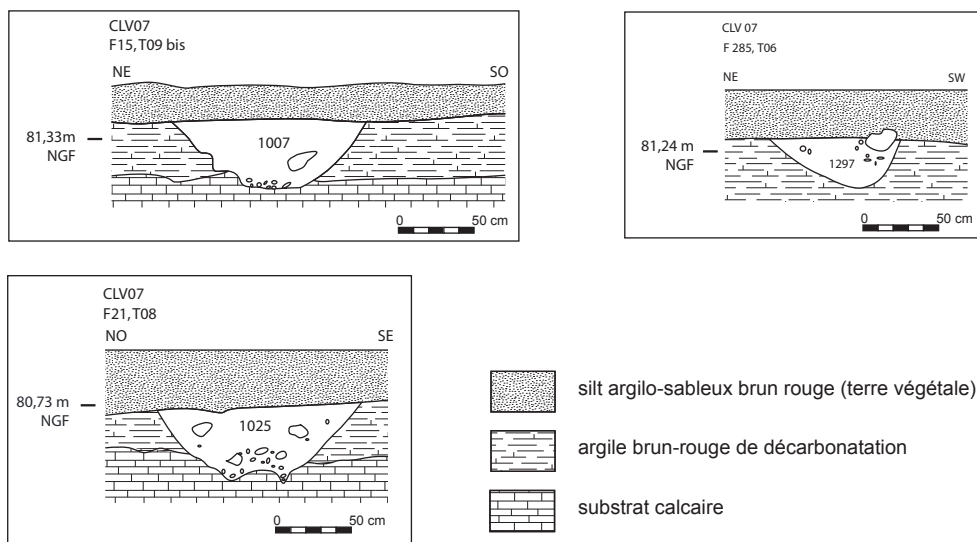


Figure 32 : Plan de l'occupation moderne au nord de La Vallerie (M. Gaultier, M. Laurens-Berge - SADIL)

Fossés de la ferme moderne



Fossé parcelaire moderne - contemporain

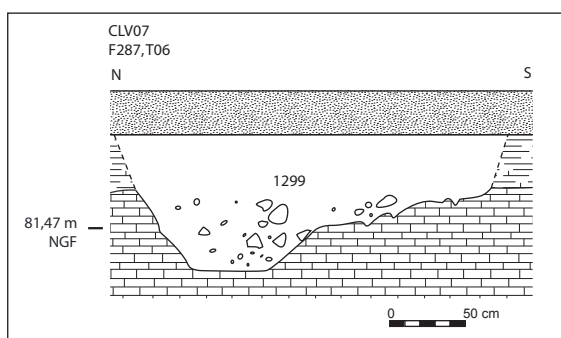


Figure 33 : coupes de fossés du secteur de la ferme moderne (M. Gaultier, M. Laurens-Berge - SADIL)

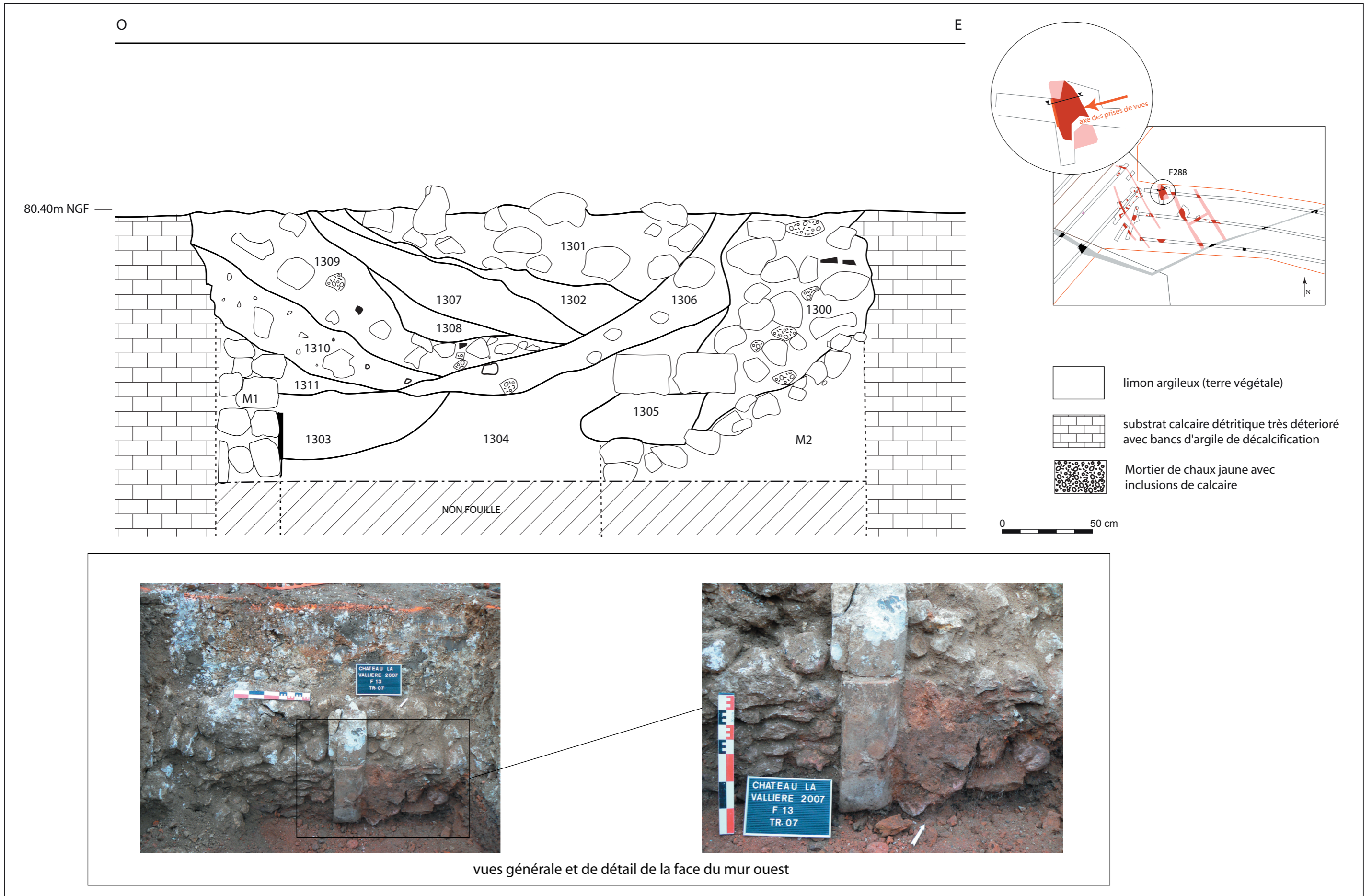


Figure 34 : la cave moderne F288, coupe est-ouest et détail du mur ouest (M. Laurens-Berge - SADIL)

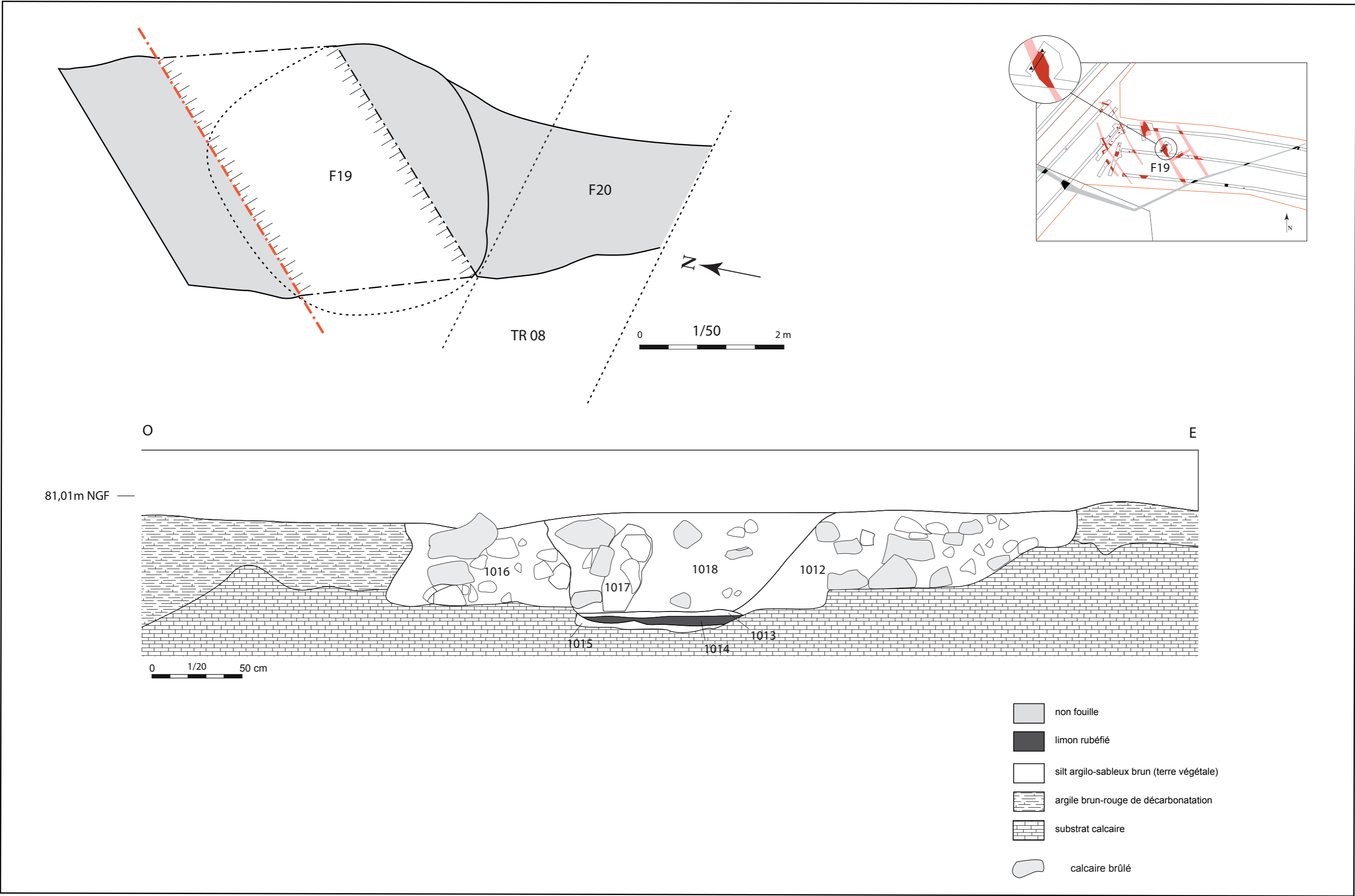
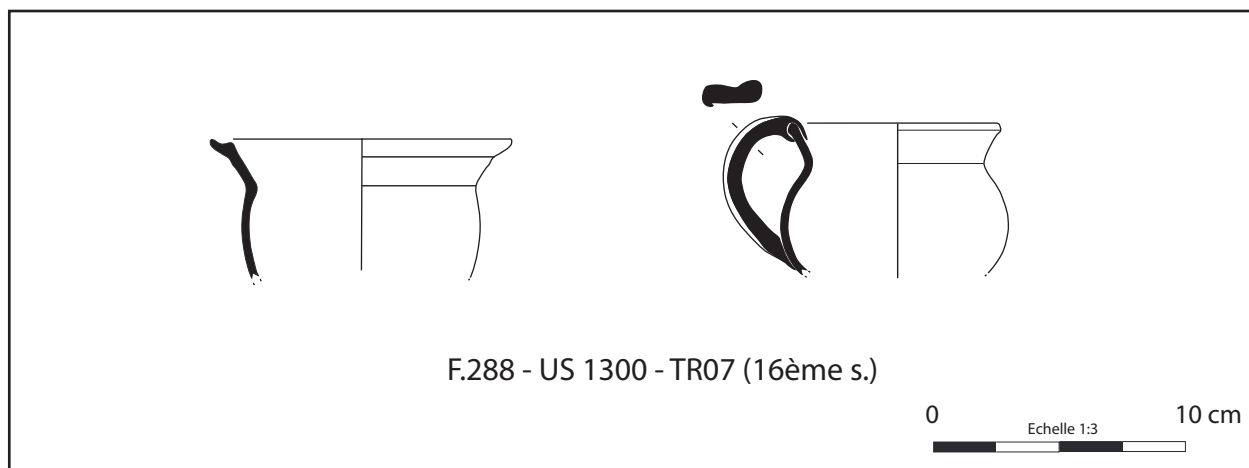


Figure 35 : coupe et plan du four F19 (M. Laurens-Berge - SADIL)



F288 : lame de couteau

Figure 36 : mobilier moderne découvert dans F288 (M. Gaultier, M. Laurens-Berge - SADIL)



Figure 37 : Traces d'exploitation modernes et contemporaines du territoire (M. Gaultier - SADIL)

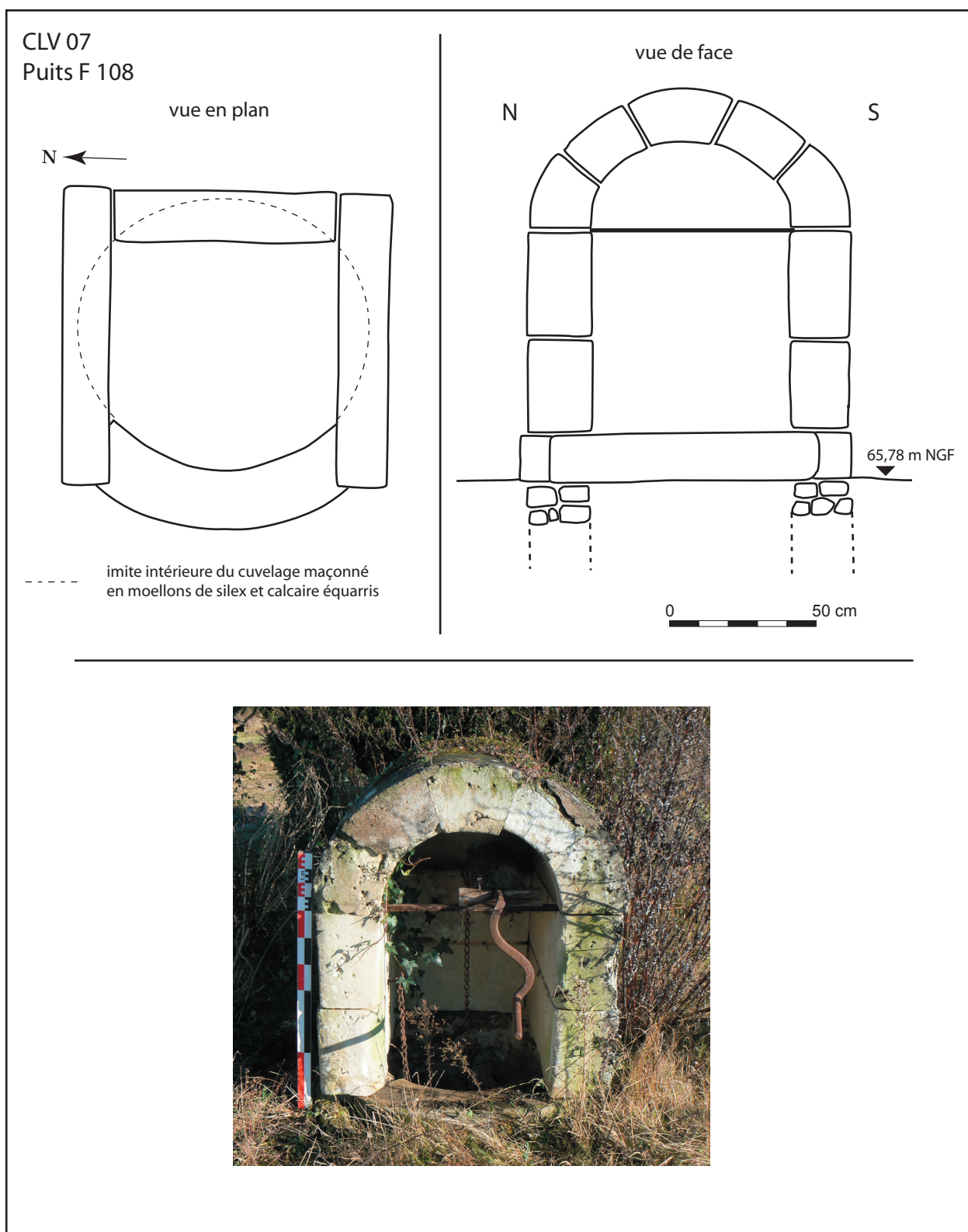


Figure 38 : plan et photographie du puits contemporain F108 (M. Gaultier, M. Laurens-Berge - SADIL)

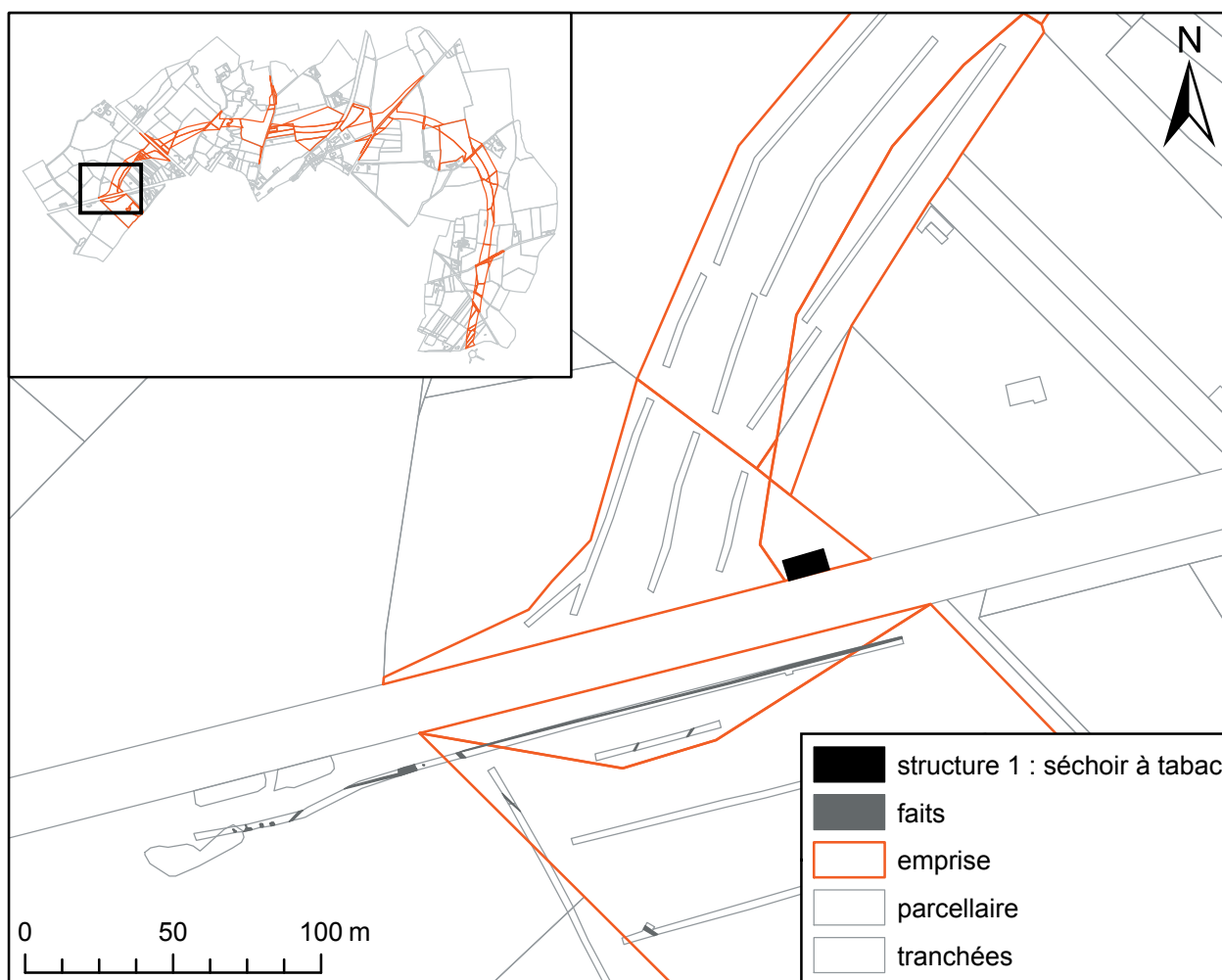


Figure 39 : localisation du séchoir à tabac contemporain (structure 1) – vue depuis la RD766 (M. Gaultier - SADIL)



Figure 40 : vue du mur nord du séchoir (M. Gaultier - SADIL)

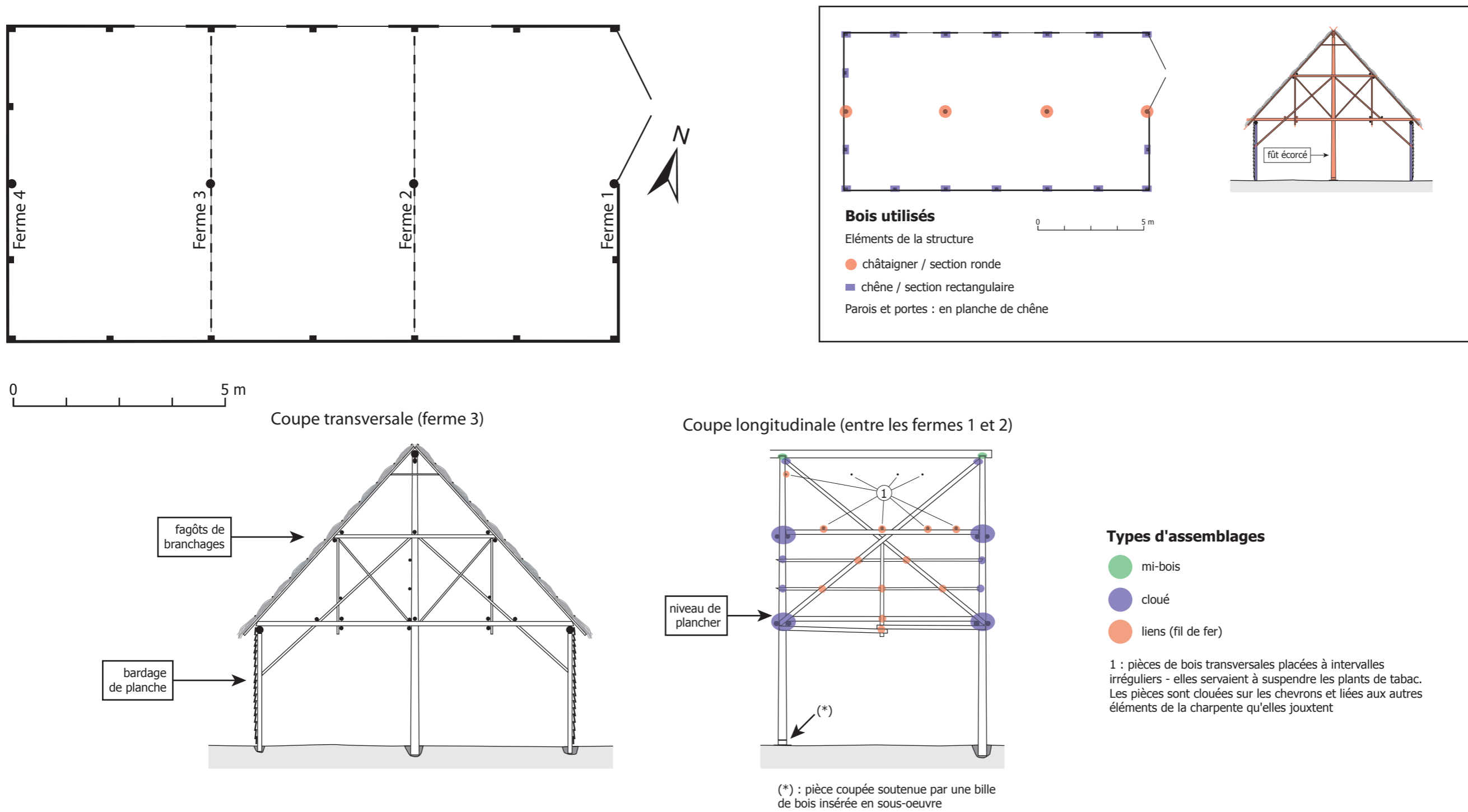


Figure 41 : plan de la structure, coupe transversale du bâtiment au niveau d'une ferme, coupe longitudinale du bâtiment entre deux fermes (M. Gaultier - SADIL)



Figure 42 : vue de détail au niveau de la liaison entre le poinçon et l'entrait sur une ferme (M. Gaultier - SADIL)



Figure 43 : vue de l'intérieur du séchoir (M. Gaultier - SADIL)

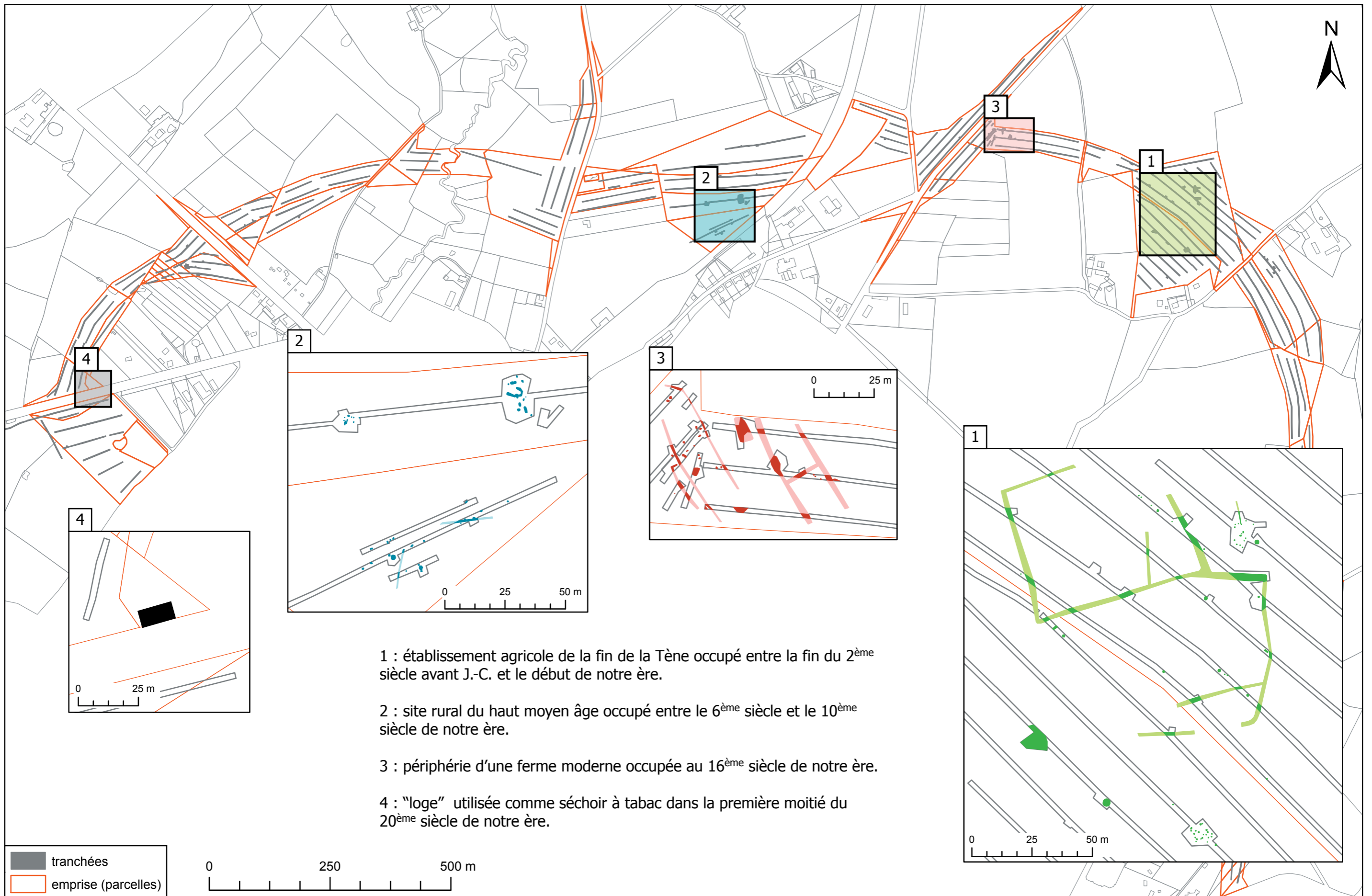


Figure 44 : synthèse des découvertes archéologiques sur le tracé du projet de contournement de Château-la-Vallière (M. Gaultier - SADIL)